



北京航空航天大学  
BEIHANG UNIVERSITY

# 第三章

## 时域分析法



## 引言

一旦建立其描述系统的数学模型，可用各种方法对系统进行分析和设计。本章研究系统的时域分析法。



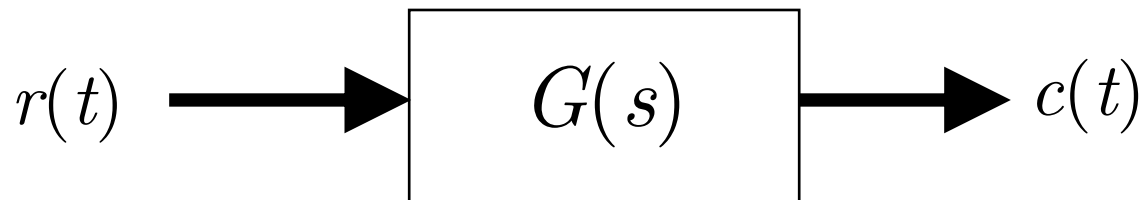
## 3-1 时域分析法基础

### 一. 时域分析法特点

- 由系统微分方程，通过拉氏变换直接求出系统的时间响应；
- 由响应的表达式及时间响应曲线分析系统性能，找出系统结构、参数与这些性能之间的关系；
- 是一种直接方法，准确且可提供系统时间响应的全部信息。



## 二、典型的初始状态、典型外作用



### 1. 典型初始状态

在  $t=0^-$  时，系统处于静止状态，即

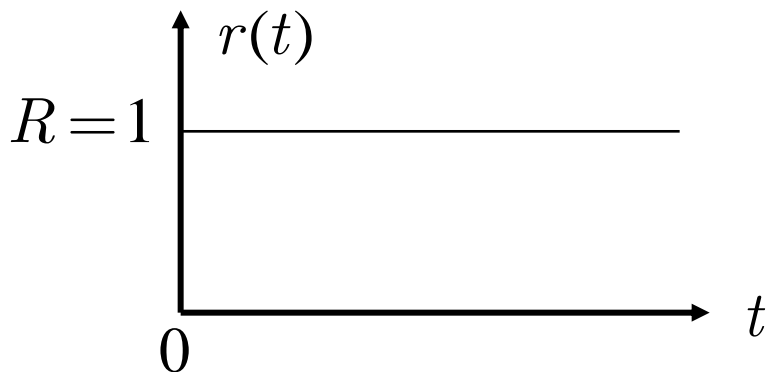
$$c(0^-) = \left. \frac{dc(t)}{dt} \right|_{t=0^-} = \left. \frac{d^2c(t)}{dt^2} \right|_{t=0^-} = \dots = 0$$



## 2. 典型外作用

### (1) 单位阶跃函数 $1(t)$

$$r(t) = 1(t) = \begin{cases} 1, & t \geq 0 \\ 0, & t < 0 \end{cases}$$



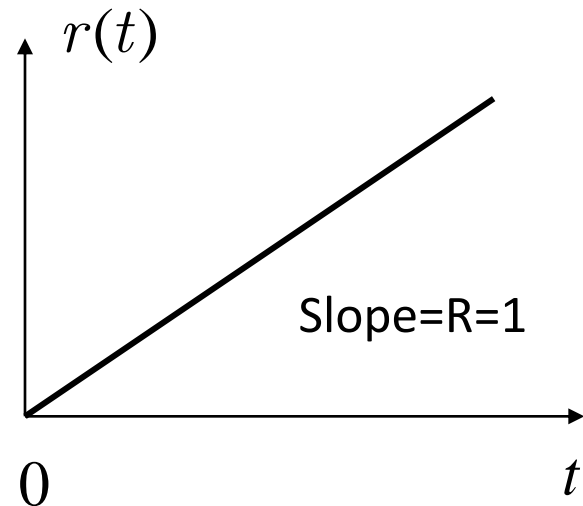
其拉氏变换为:  $\mathcal{L}[r(t)] = \frac{1}{s}$



## (2) 单位斜坡函数 $t \cdot 1(t)$

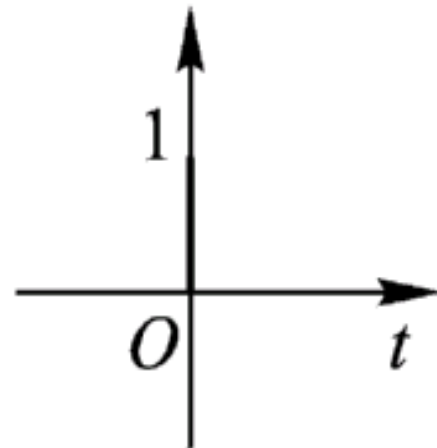
$$r(t) = t \cdot 1(t) = \begin{cases} t, & t \geq 0 \\ 0, & t < 0 \end{cases}$$

其拉氏变换为:  $\mathcal{L}[r(t)] = \frac{1}{s^2}$



## (3) 单位脉冲函数 $\delta(t)$

$$\delta(t) = \begin{cases} \infty, & t = 0 \\ 0, & t \neq 0 \end{cases} \quad \mathcal{L}[\delta(t)] = 1$$



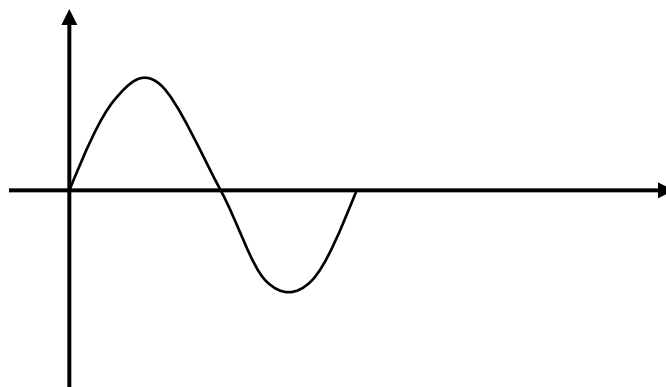


## (4) 正弦函数

$$r(t) = A \sin \omega t \cdot 1(t) = \begin{cases} A \sin \omega t, & t \geq 0 \\ 0, & t < 0 \end{cases}$$

其拉氏变换为:

$$\mathcal{L}[r(t)] = \frac{A\omega}{s^2 + \omega^2}$$





### 三、典型时间响应

任何稳定系统的动态响应均可分为两部分：  
 $t \rightarrow \infty$ 时趋于零的分量，称为瞬态响应  $c_{tr}(t)$ ； $t \rightarrow \infty$   
不趋于零的分量，称为稳态响应  $c_{ss}(t)$ ：

$$c(t) = c_{tr}(t) + c_{ss}(t)$$

**例：**给定系统：

$$C(s) = \frac{1}{s^2 + s + 1} R(s)$$

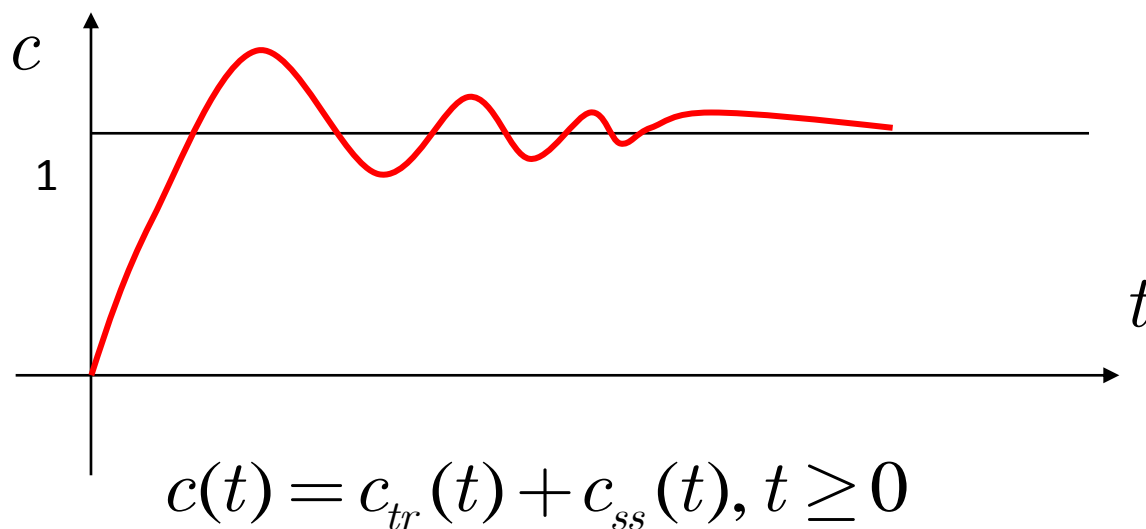
令  $r(t) = 1(t)$ 。则其单位阶跃响应为：





$$C(s) = \frac{1}{s^2 + s + 1} \frac{1}{s} = \frac{1}{s} - \frac{s+1}{s^2 + s + 1}$$

$$c(t) = \underbrace{1}_{c_{ss}(t)} - \underbrace{e^{-t/2} \left( \cos \frac{\sqrt{3}}{2} t + \frac{1}{\sqrt{3}} \sin \frac{\sqrt{3}}{2} t \right)}_{c_{tr}(t)}, \quad t \geq 0$$

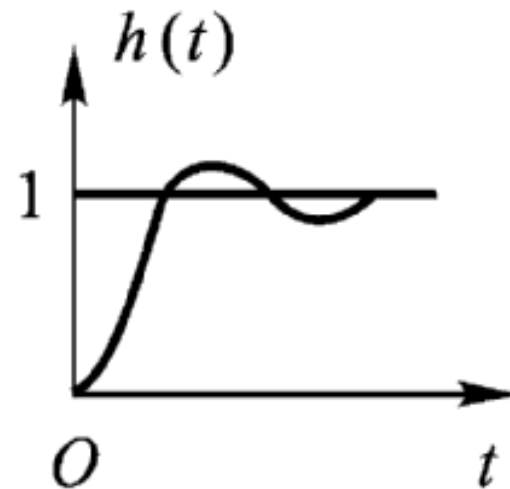




## 1. 位阶跃响应

$$H(s) = \Phi(s) \frac{1}{s}$$

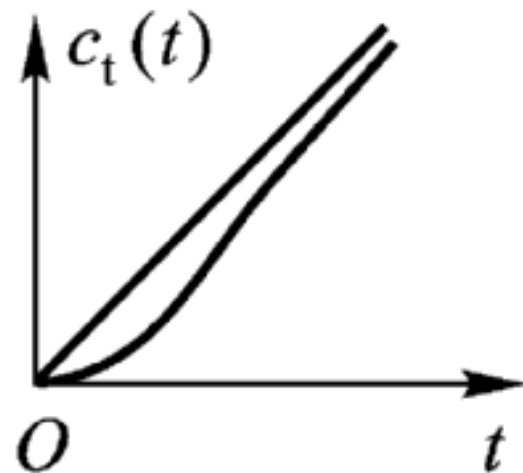
$$h(t) = L^{-1}[H(s)]$$



## 2. 单位斜坡响应

$$C_t(s) = \Phi(s) \frac{1}{s^2}$$

$$c_t(t) = L^{-1}[C_t(s)]$$

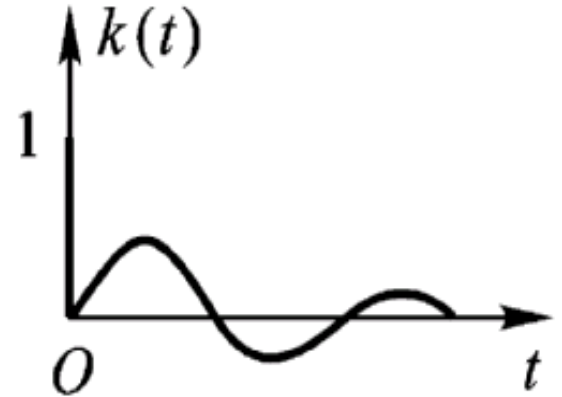




### 3. 单位脉冲响应

$$K(s) = \Phi(s) \cdot 1$$

$$k(t) = L^{-1}[K(s)] = L^{-1}[\Phi(s)]$$



**例：**给定系统：

$$C(s) = \frac{1}{s^2 + s + 1} R(s)$$

令  $r(t) = \delta(t)$ 。则其单位脉冲响应为：

$$C(s) = \frac{1}{s^2 + s + 1} = \frac{1}{\left(s + \frac{1}{2}\right)^2 + \left(\frac{\sqrt{3}}{2}\right)^2}$$



## 4. 三种响应之间的关系

$$H(s) = \Phi(s) \cdot \frac{1}{s} = K(s) \cdot \frac{1}{s}$$

$$C_t(s) = \Phi(s) \cdot \frac{1}{s^2} = K(s) \cdot \frac{1}{s^2} = H(s) \cdot \frac{1}{s}$$

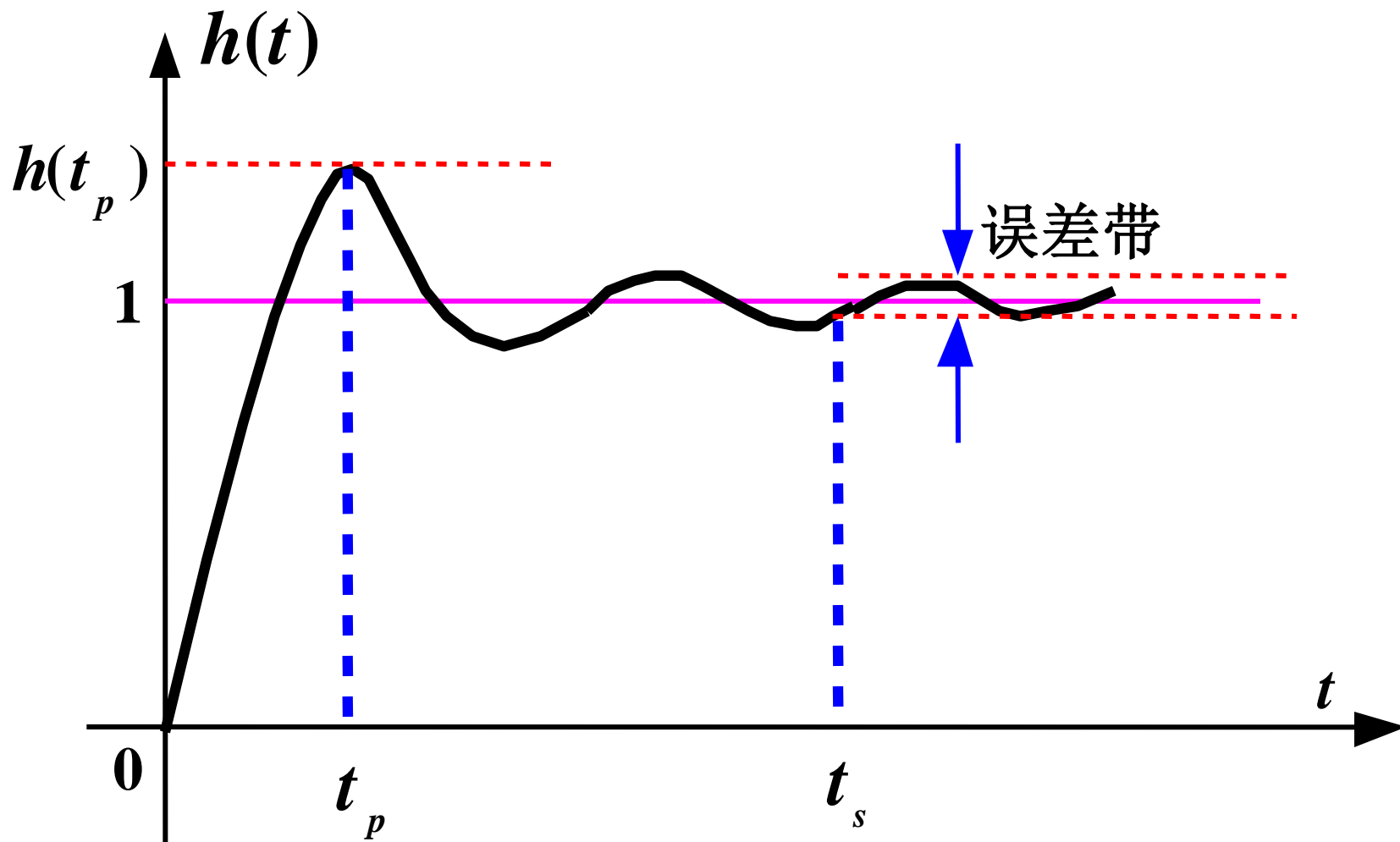
相应的时域表达式为

$$h(t) = \int_0^t k(\tau) d\tau$$

$$c_t(t) = \int_0^t h(\tau) d\tau$$



## 四、阶跃响应的性能指标





1. 峰值时间 $t_p$ : 指 $h(t)$ 曲线中超过其稳态值而达到第一个峰值所需的时间。
2. 超调量 $\sigma\%$ : 指 $h(t)$ 中峰值与稳态值之比:

$$\sigma\% = \frac{h(t_p) - h(\infty)}{h(\infty)} \times 100\%$$

3. 调节时间 $t_s$ : 指响应曲线中,  $h(t)$ 进入稳态值附近 $\pm 5\%h(\infty)$ 或 $\pm 2\%h(\infty)$ 误差带, 而不再超出的最小时间。
4. 稳态误差 $e_{ss}$ : 指响应的稳态值与期望值之差:

$$e_{ss} := \lim_{t \rightarrow \infty} (r(t) - c(t)) = \lim_{t \rightarrow \infty} (1 - h(t))$$



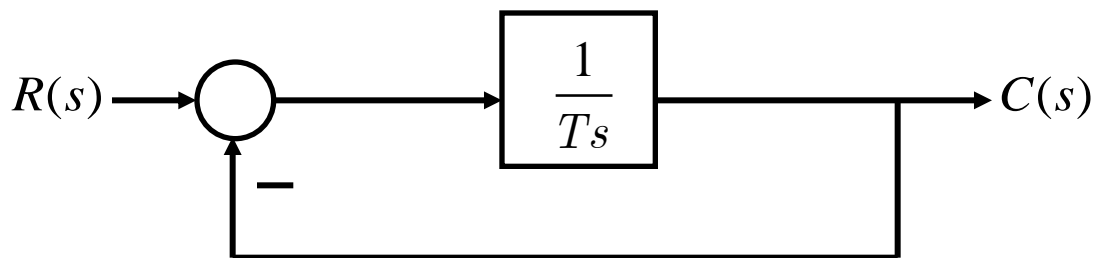
## 3-2 一、二阶系统分析与计算

### 一、一阶系统的数学模型及单位阶跃响应

#### 1. 数学模型

$$T \frac{dc}{dt} + c(t) = r(t)$$

其中， $T$  为时间常数。许多物理系统均可用一阶系统来描述其动态过程。

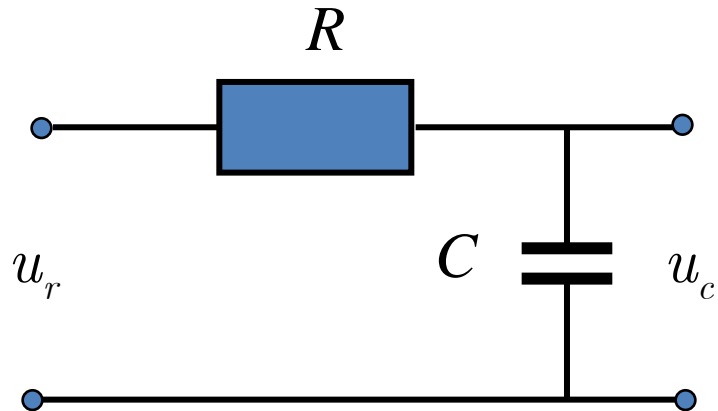


$$\frac{C(s)}{R(s)} = \frac{1}{Ts + 1}$$



例：考虑如下RC电路：

$$RC \frac{du_c}{dt} + u_c = u_i$$



取 *Laplace* 变换后

$$\frac{U_c(s)}{U_r(s)} = \frac{1}{RCs + 1} = \frac{1}{Ts + 1}$$

这里时间常数  $T=RC$ 。





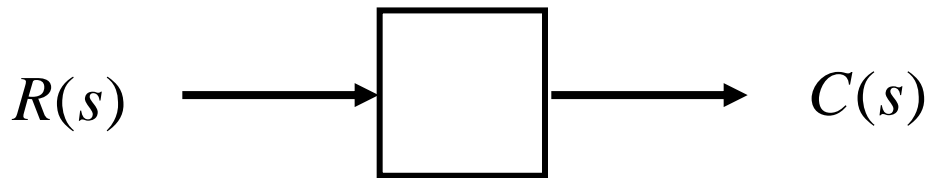
**例：**导弹线性运动可用一阶系统描述：

$$m \frac{dv}{dt} = f(t) - kv$$

其中  $f(t)$  是推力， $v$  为速度， $kv$  表示空气阻力，正比于速度， $m$  为质量。取 *Laplace* 变换后



## 2. 单位阶跃响应



输入信号:

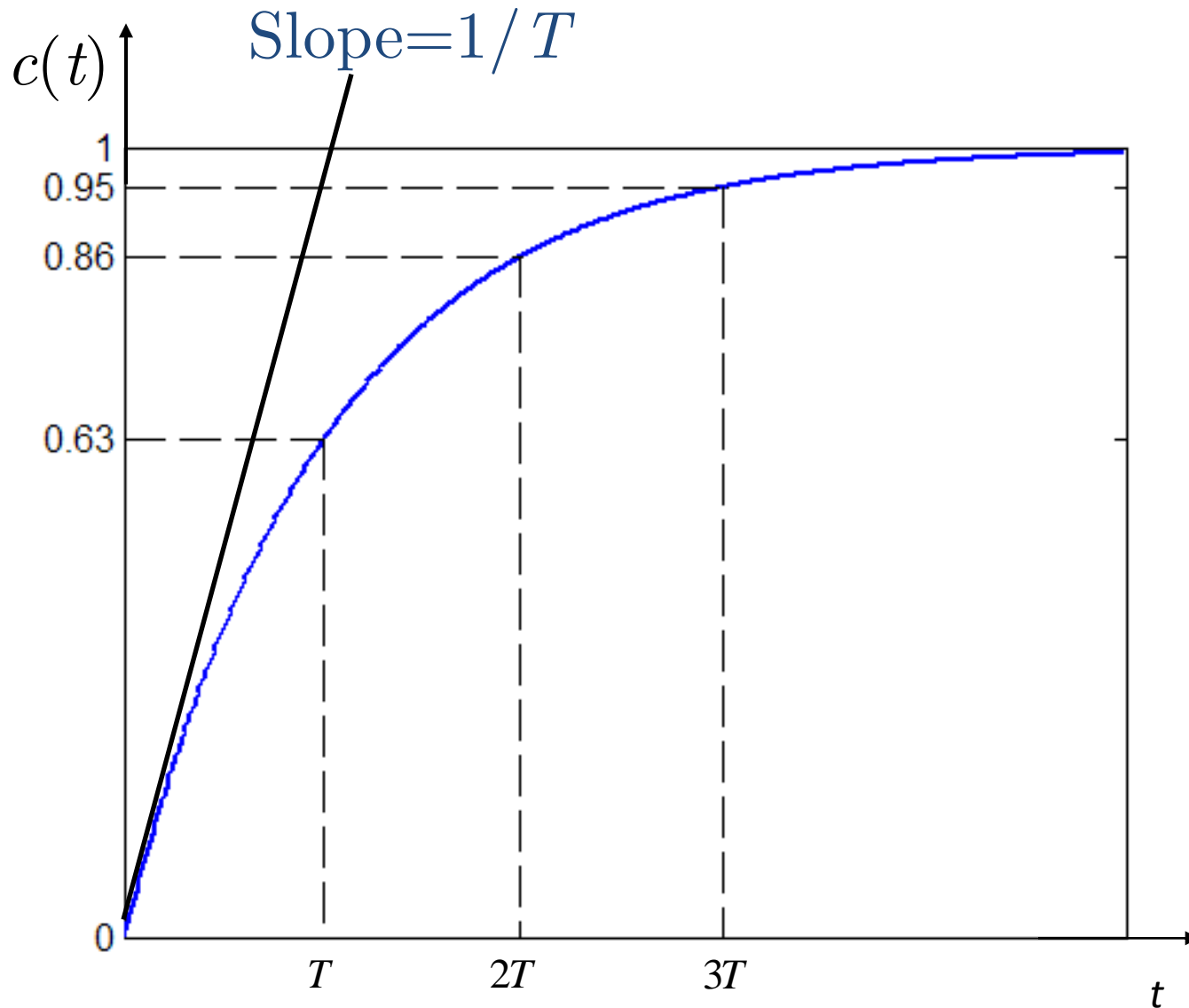
$$R(s) = \frac{1}{s}$$

故

$$C(s) = \frac{1}{s(Ts + 1)} = \frac{1}{s} - \frac{T}{Ts + 1} = \frac{1}{s} - \frac{1}{s + 1/T}$$

时间响应:

$$c(t) = 1 - e^{-t/T}, t \geq 0$$



$$c(T) = 0.632$$

$$c(2T) = 0.865$$

$$c(3T) = 0.950$$

$$t_s = 3T$$

$$\sigma\% = 0$$

$$\left. \frac{dc}{dt} \right|_{t=0} = \frac{1}{T}$$



### 3. 性能指标

(1) 平稳性  $\sigma\%$ : 非周期、无振荡,  $\sigma\% = 0$

(2) 快速性  $t_s$ :

$$t_s = 3T \text{ 时, } c(t) = 0.95 \quad [\text{对应5\%误差带}]$$

(3) 准确性  $e_{ss}$ :

$$e_{ss} = 1 - c(\infty) = 0$$



## 4. 单位斜坡响应

输入信号:  $r(t) = t \cdot 1(t)$

故  $R(s) = \frac{1}{s^2}$

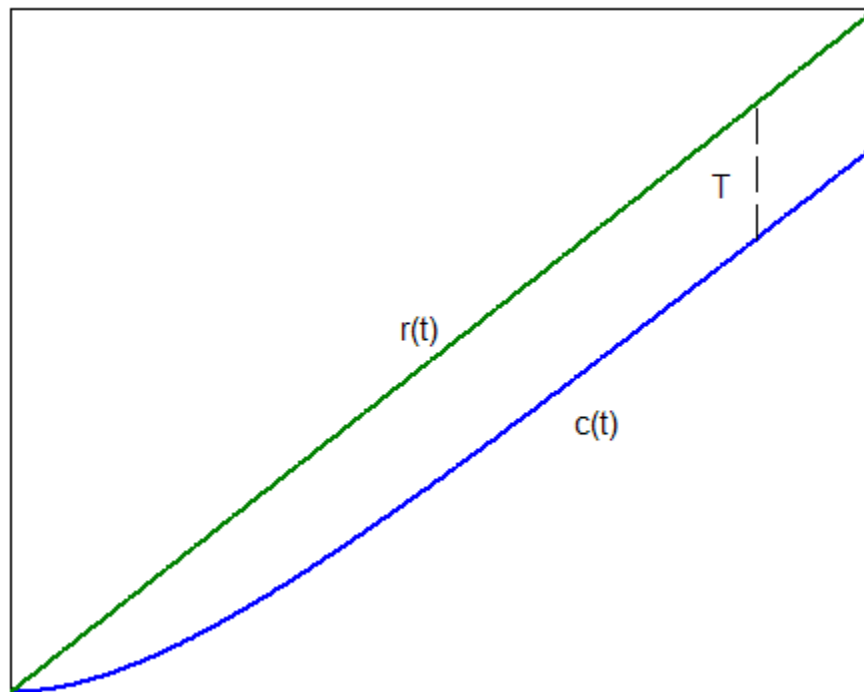
$$C(s) = \frac{1}{s^2(Ts+1)} = \frac{1}{s^2} - \frac{T}{s} + \frac{T}{s+1/T}$$

时间响应为

$$c(t) = t - T + Te^{-\frac{t}{T}}, t \geq 0$$



$$e(t) = r(t) - c(t) = T(1 - e^{-\frac{t}{T}}), t \geq 0$$
$$\Rightarrow e(\infty) = T$$





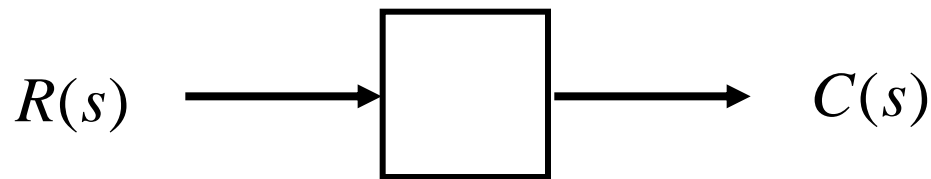
对一阶系统，对单位阶跃和单位斜坡输入，稳态误差是不同的：

$$\lim_{t \rightarrow \infty} e(t) = \lim_{t \rightarrow \infty} [r(t) - c(t)] = \lim_{t \rightarrow \infty} e^{-t/T} = 0$$

$$\begin{aligned} \lim_{t \rightarrow \infty} e(t) &= \lim_{t \rightarrow \infty} [r(t) - c(t)] \\ &= \lim_{t \rightarrow \infty} T(1 - e^{-\frac{t}{T}}) = T \end{aligned}$$



## 5. 单位脉冲响应



输入为单位脉冲:  $R(s) = 1$

故

$$C(s) = \frac{1}{Ts + 1}$$

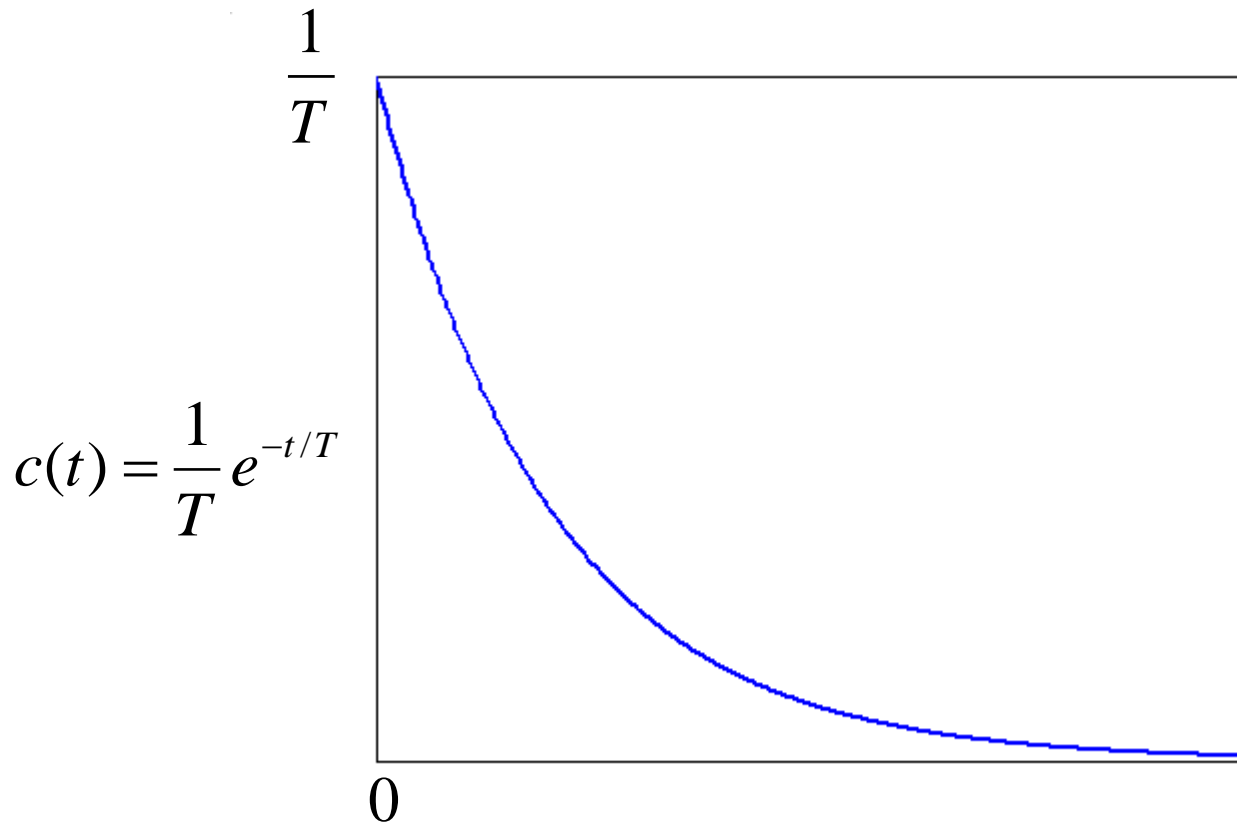
取 *Laplace* 反变换,

$$c(t) = \frac{1}{T} e^{-t/T}, t \geq 0$$





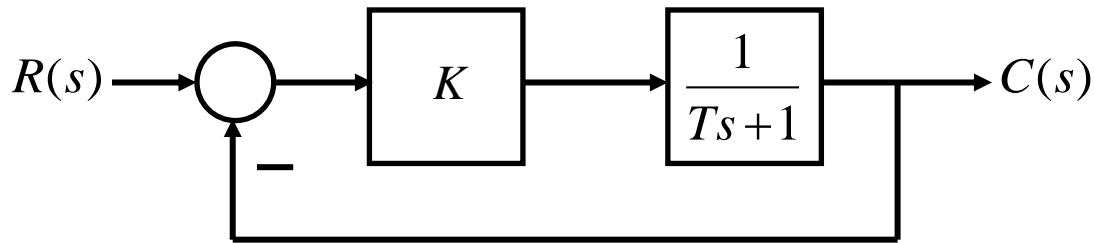
单位脉冲响应:



为什么在  $t=0^+$  有一个跳跃?



**例：**求如下闭环系统的单位阶跃响应：

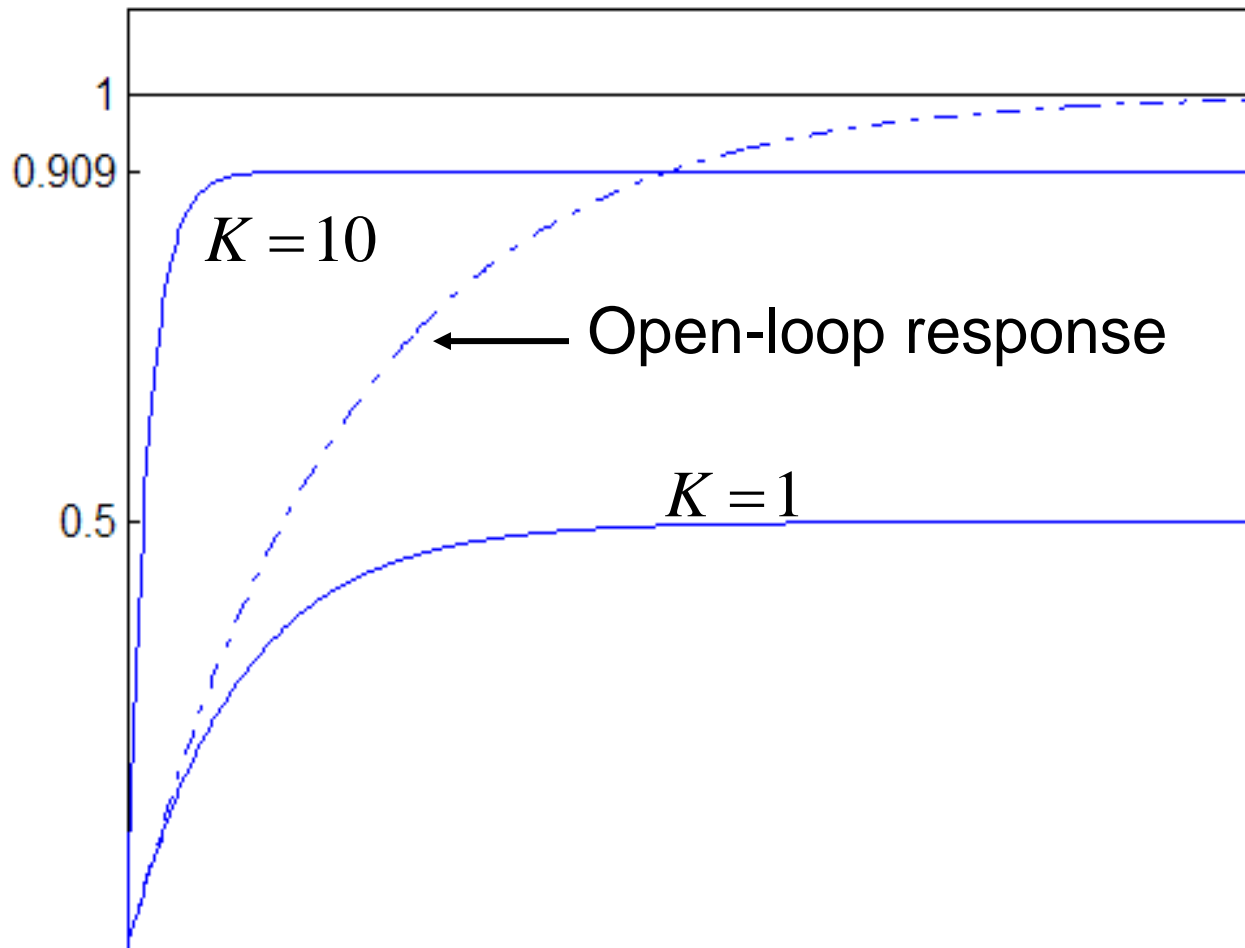


**解：**

$$C(s) = \frac{K}{s(Ts+1+K)} = \frac{\bar{K}}{\bar{T}s+1} \frac{1}{s} = \bar{K} \left( \frac{1}{s} - \frac{1}{s + \frac{1}{\bar{T}}} \right)$$

其中

$$\bar{K} = \frac{K}{1+K}, \quad \bar{T} = \frac{T}{1+K}$$

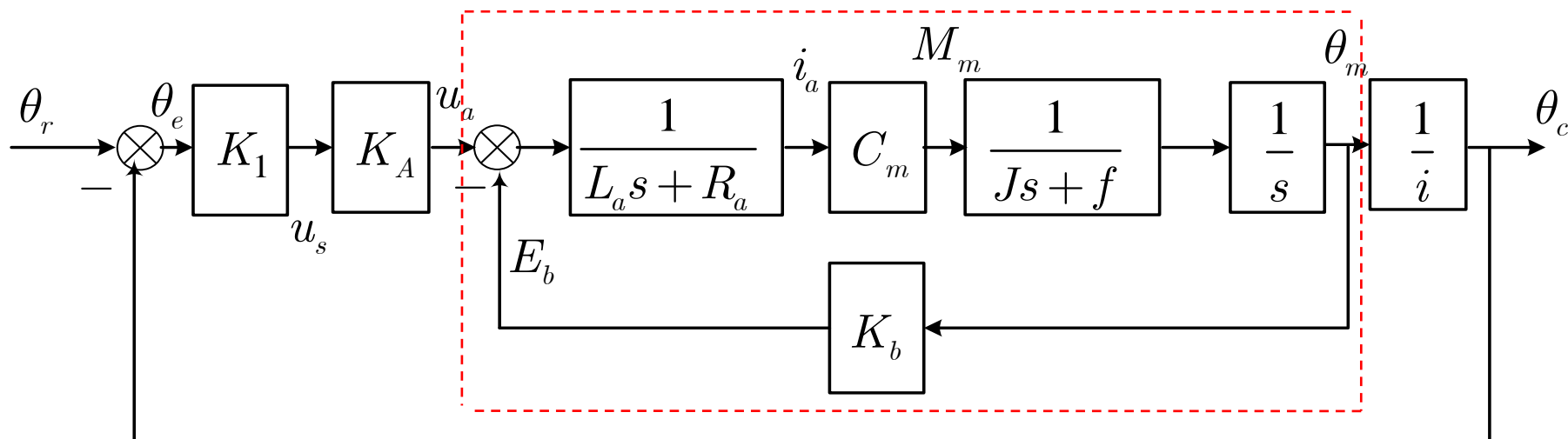




## 二、二阶系统的数学模型及单位阶跃响应

### 1. 数学模型

许多物理系统均可用二阶微分方程描述其动态过程。例如如下伺服系统：





该闭环系统的数学模型可简化成如下二阶系统：

$$\frac{\Theta_c(s)}{\Theta_r(s)} = \frac{K}{T_m s^2 + s + K}$$

$$K = \frac{K_1 K_A C_m}{i R_a} \frac{1}{F}$$

$$F = f + C_m K_b / R_a$$

$$T_m = J / F$$

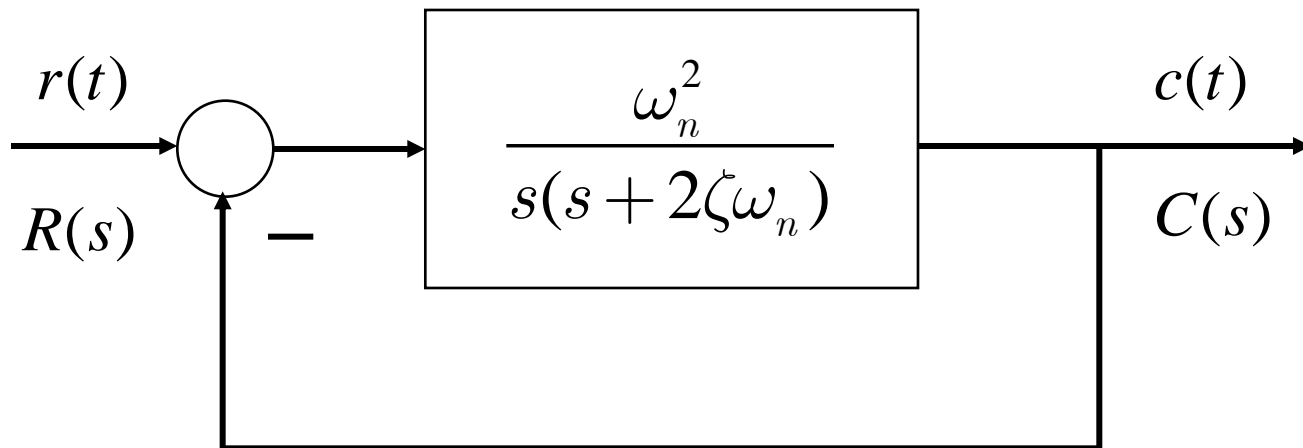
$K$  称为开环增益， $T_m$  称为机电时间常数。



## (1) 标准二阶系统的数学模型

$$\frac{C(s)}{R(s)} = \frac{\omega_n^2}{s^2 + 2\zeta\omega_n s + \omega_n^2}$$

其中  $\omega_n$  为无阻尼自然角频率(弧度/秒),  $\zeta$  为阻尼比。

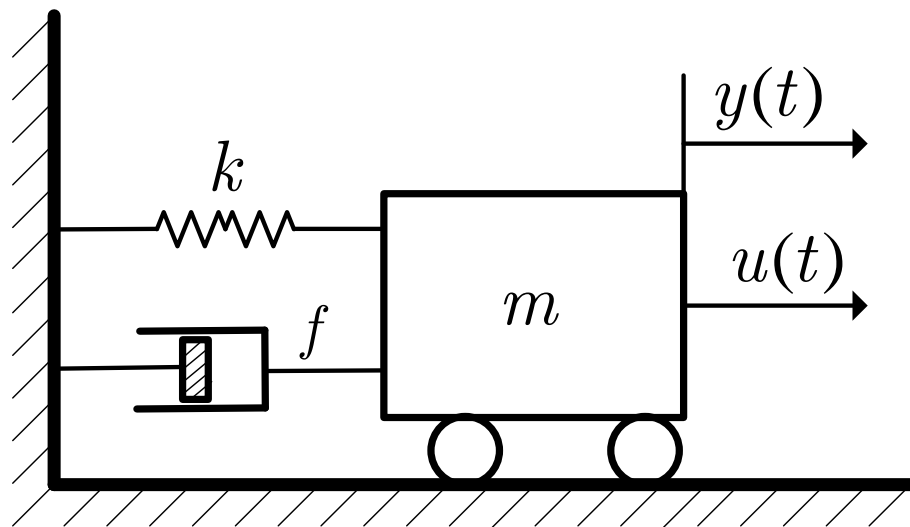


闭环系统特征多项式:

$$s^2 + 2\zeta\omega_n s + \omega_n^2 = 0$$



## 例：弹簧-质量块-阻尼器系统：二阶系统



$k$  : Spring  
constant

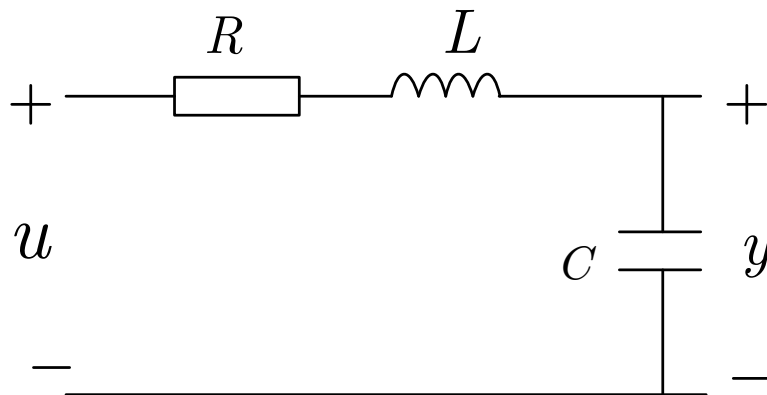
$f$  : Damping  
coefficient

$$m\ddot{y} + f\dot{y} + ky = u$$

$$\frac{Y(s)}{U(s)} = \frac{1}{ms^2 + fs + k} = \frac{1}{k} \left( \frac{k/m}{s^2 + (f/m)s + k/m} \right)$$



## 例： $RLC$ 电路



$$\frac{Y(s)}{U(s)} = \frac{1}{LCs^2 + RCs + 1} = \frac{1/LC}{s^2 + (R/L)s + 1/LC}$$

$$\omega_n = \sqrt{\frac{1}{LC}}, \quad 2\zeta\omega_n = \frac{R}{L} = 2\left(R\sqrt{\frac{C}{L}}\right)\sqrt{\frac{1}{LC}}$$





## (2) 二阶系统特征根在复平面上的位置

$$s^2 + 2\zeta\omega_n s + \omega_n^2 = 0$$

解方程求得特征根：

$$s_{1,2} = -\zeta\omega_n \pm \omega_n \sqrt{\zeta^2 - 1}$$

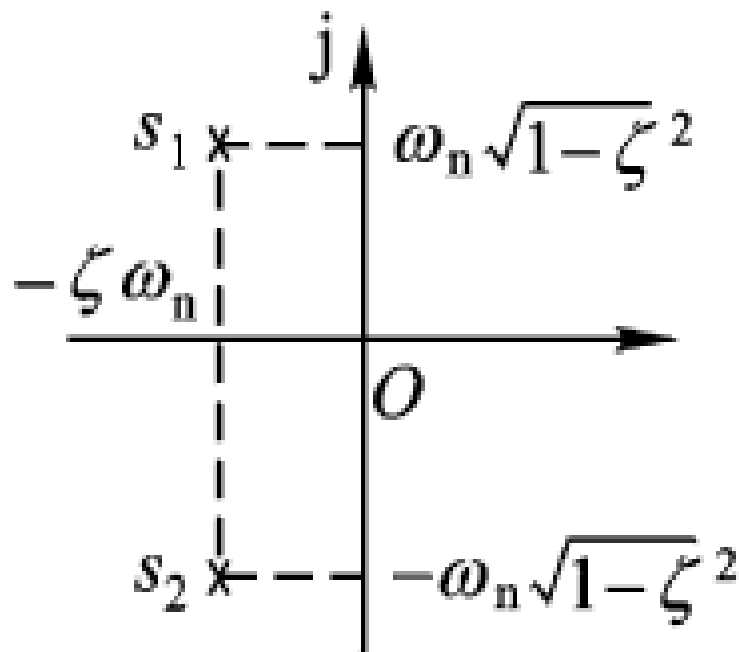
$s_1$ 、 $s_2$ 在复平面上的位置完全取决于 $\zeta$ 、 $\omega_n$ 两个参数。



1) 欠阻尼:  $0 < \zeta < 1$ :

$$s_{1,2} = -\zeta\omega_n \pm j\omega_n\sqrt{1-\zeta^2}$$

此时  $s_1, s_2$  为一对共轭复根，且位于复平面的左半部。

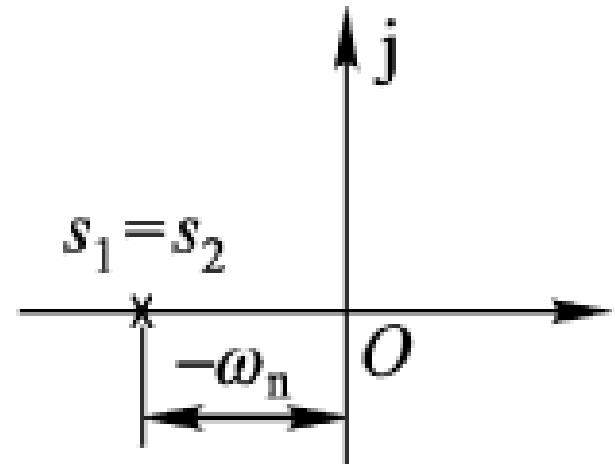




2) 临界阻尼:  $\zeta=1$ :

$$s_{1,2} = -\omega_n$$

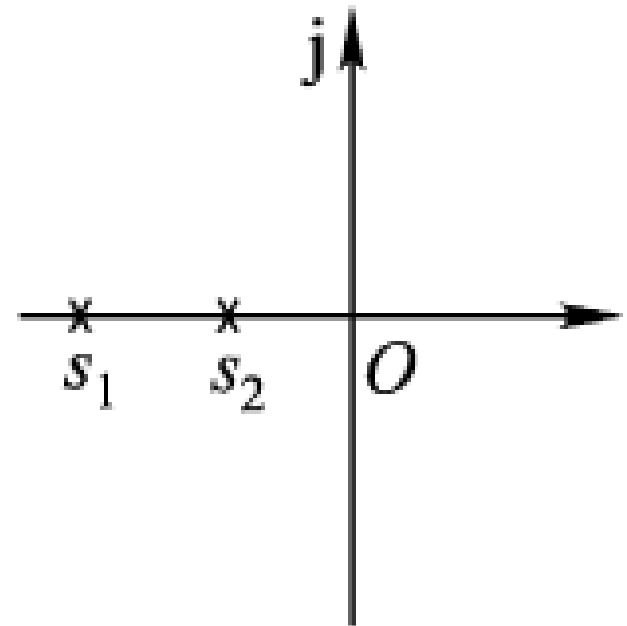
此时  $s_1, s_2$  为一对相等的负实根。



3) 过阻尼:  $\zeta>1$ :

$$s_{1,2} = -\zeta\omega_n \pm \omega_n\sqrt{\zeta^2 - 1}$$

此时  $s_1, s_2$  为两个不相等的负实根。

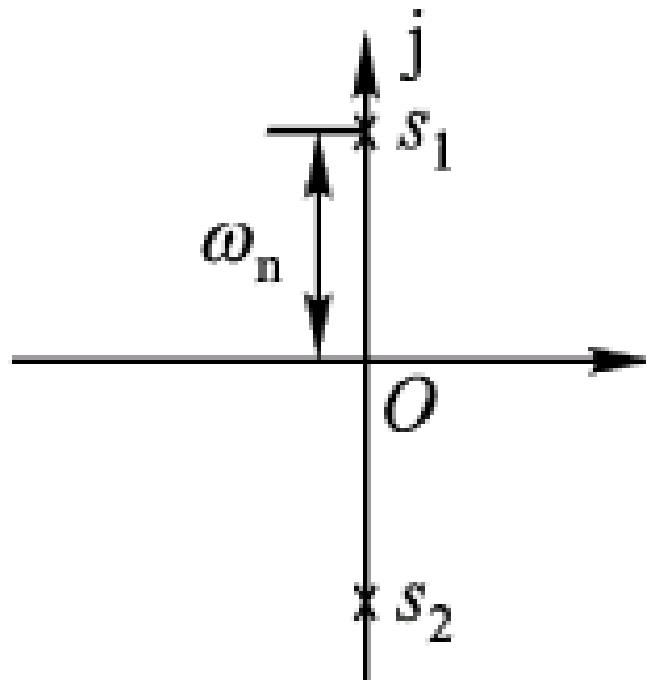




4) 无阻尼:  $\zeta=0$ :

$$s_{1,2} = \pm j\omega_n$$

此时  $s_1, s_2$  为两个  
共轭虚根。





## 2. 二阶系统的单位阶跃响应

(1) 过阻尼 ( $\zeta > 1$ ) 单位阶跃响应:

记

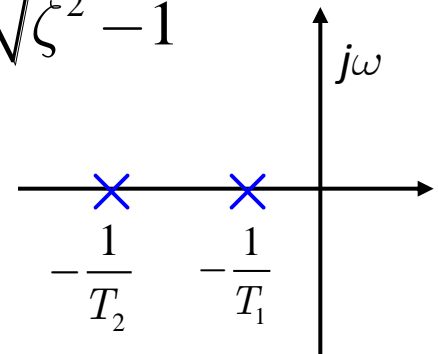
$$s^2 + 2\zeta\omega_n s + \omega_n^2 = (s + s_1)(s + s_2) = \left(s + \frac{1}{T_1}\right)\left(s + \frac{1}{T_2}\right)$$

这里

$$\begin{cases} T_1 = \frac{1}{\zeta\omega_n - \omega_n\sqrt{\zeta^2 - 1}} \Rightarrow \frac{1}{T_1} = \zeta\omega_n - \omega_n\sqrt{\zeta^2 - 1} \\ T_2 = \frac{1}{\zeta\omega_n + \omega_n\sqrt{\zeta^2 - 1}} \Rightarrow \frac{1}{T_2} = \zeta\omega_n + \omega_n\sqrt{\zeta^2 - 1} \end{cases}$$

故

$$T_1 > T_2, \quad \omega_n^2 = \frac{1}{T_1 T_2}$$





因此,

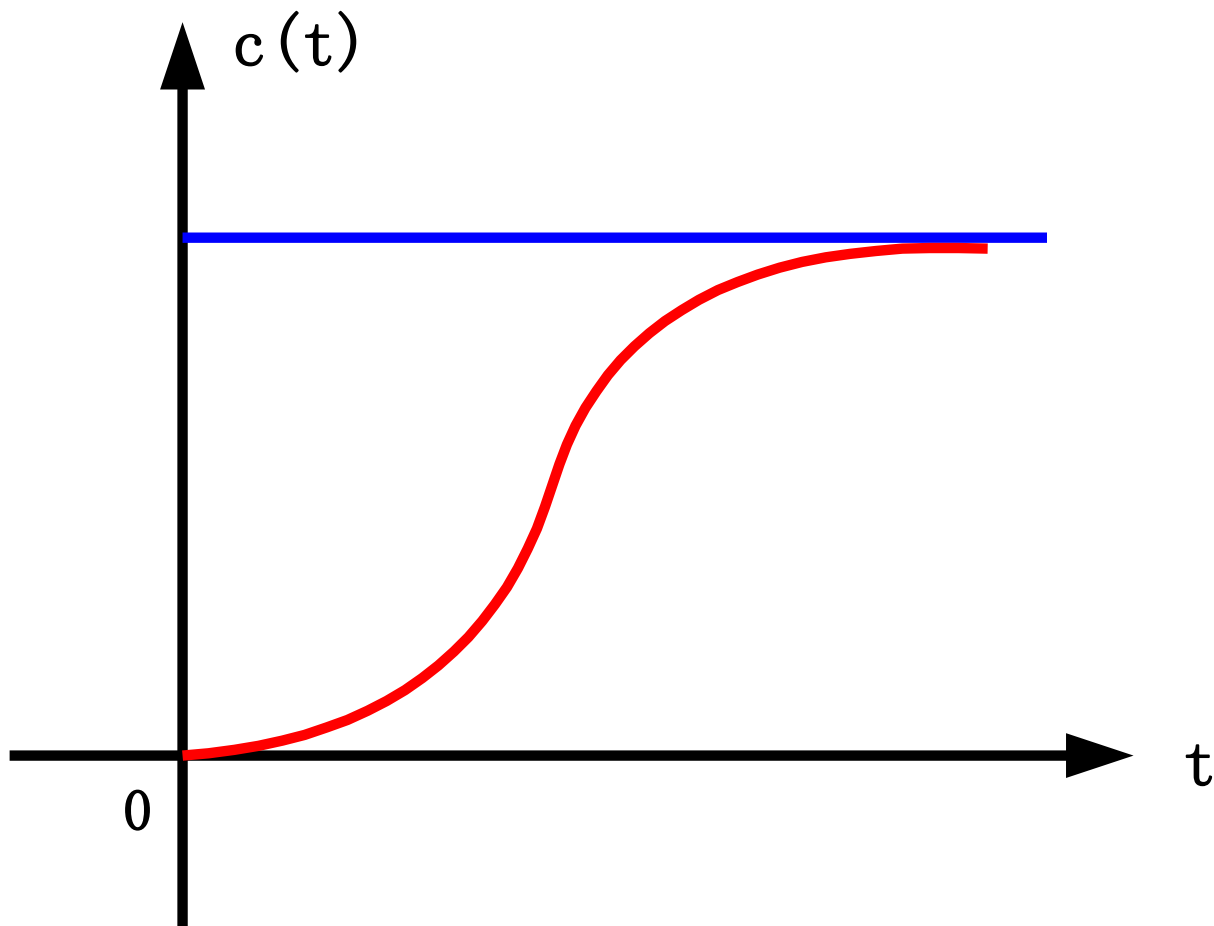
$$\begin{aligned} C(s) &= \frac{\frac{1}{T_1 T_2}}{\left(s + \frac{1}{T_1}\right)\left(s + \frac{1}{T_2}\right)} \frac{1}{s} = \frac{1}{s(T_1 s + 1)(T_2 s + 1)} \\ &= \frac{1}{s} + \frac{1}{\frac{T_2}{T_1} - 1} \times \frac{1}{\left(s + \frac{1}{T_1}\right)} + \frac{1}{\frac{T_1}{T_2} - 1} \times \frac{1}{\left(s + \frac{1}{T_2}\right)} \end{aligned}$$

单位阶跃响应:

$$c(t) = 1 + \frac{1}{\frac{T_2}{T_1} - 1} e^{-\frac{1}{T_1} t} + \frac{1}{\frac{T_1}{T_2} - 1} e^{-\frac{1}{T_2} t}, t \geq 0$$



过阻尼系统单位阶跃响应曲线：





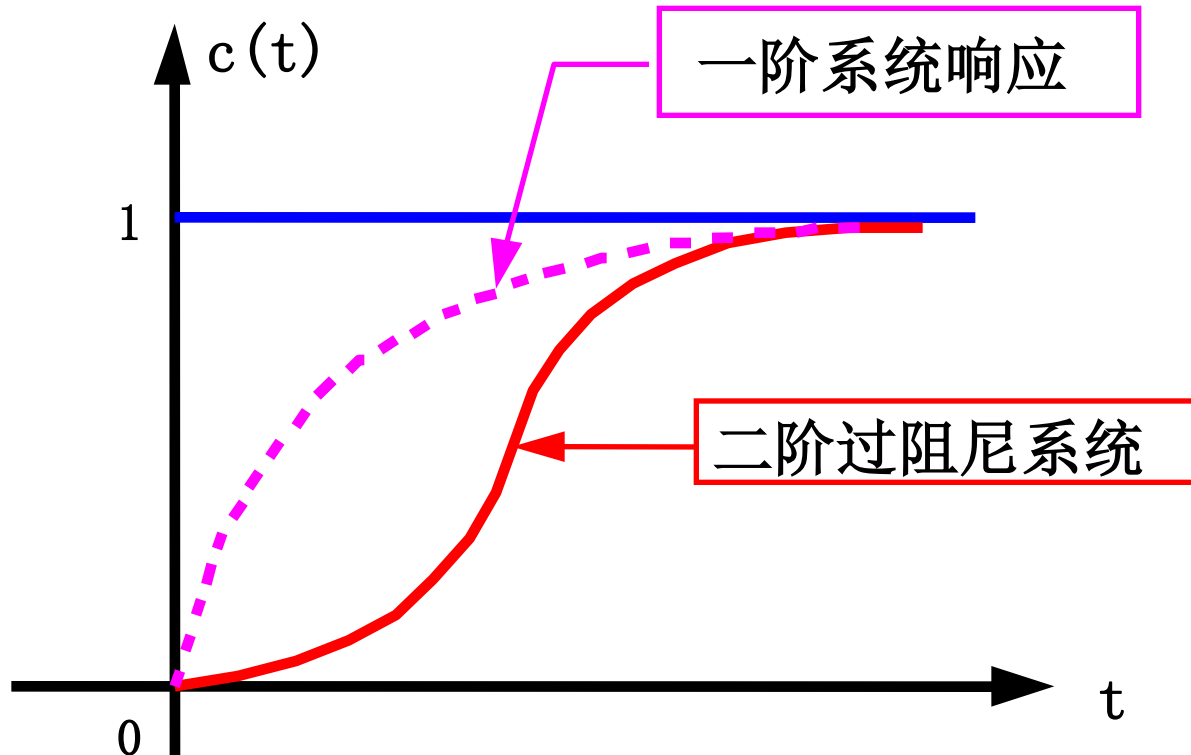
## • 过阻尼系统分析

- 1) 衰减项的幂指数的绝对值一个大，一个小。  
绝对值大的离虚轴远，衰减速度快，绝对值小的离虚轴近，衰减速度慢；
- 2) 衰减项前的系数一个大，一个小；
- 3) 二阶过阻尼系统的动态响应呈非周期性，无振荡和超调，但不同于一阶系统；





## 过阻尼系统单位阶跃响应与一阶系统比较

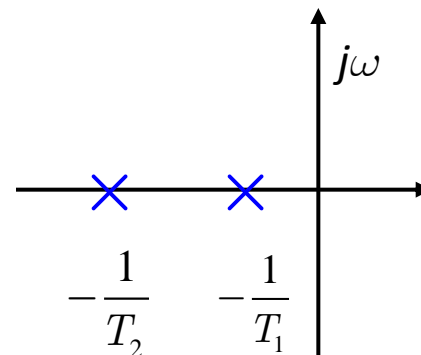


- 4) 离虚轴近的极点所决定的分量对响应产生的影响大，离虚轴远的极点所决定的分量对响应产生的影响小，有时甚至可以忽略不计。

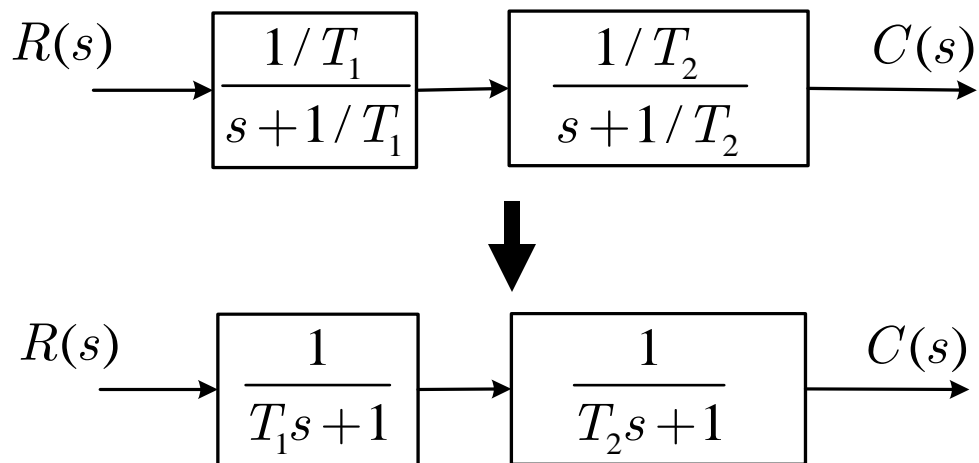


由

$$C(s) = \frac{1}{T_1 T_2} \frac{1}{\left(s + \frac{1}{T_1}\right) \left(s + \frac{1}{T_2}\right)} R(s)$$

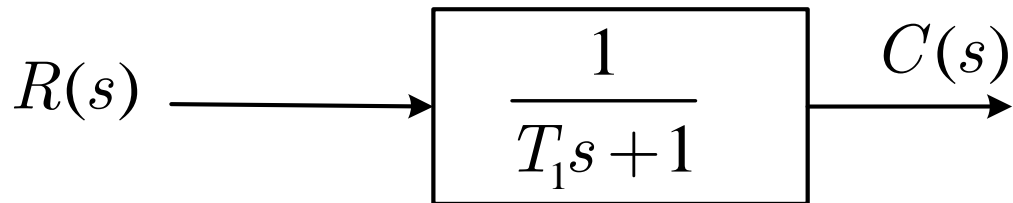


过阻尼二阶系统可表示为两个一阶系统的串联：





若  $-1/T_1$  离虚轴很近而  $-1/T_2$  离虚轴很远 ( $1/T_1 \ll 1/T_2$ ), 可忽略  $-1/T_2$ , 将原系统近似为一阶系统:



**例：**

$$\frac{C(s)}{R(s)} = \frac{10}{(s+1)(s+10)} \approx \frac{1}{(s+1)}$$

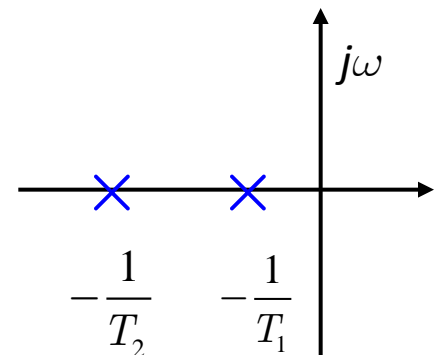
事实上,

$$c(t) = 1 - \frac{10}{9}e^{-t} + \frac{1}{9}e^{-10t}, \quad t \geq 0$$

与

$$c(t) = 1 - e^{-t}, \quad t \geq 0$$

相差不大。





## (2) 欠阻尼 ( $0 < \zeta < 1$ ) 单位阶跃响应:

$$s^2 + 2\zeta\omega_n s + \omega_n^2 = 0$$

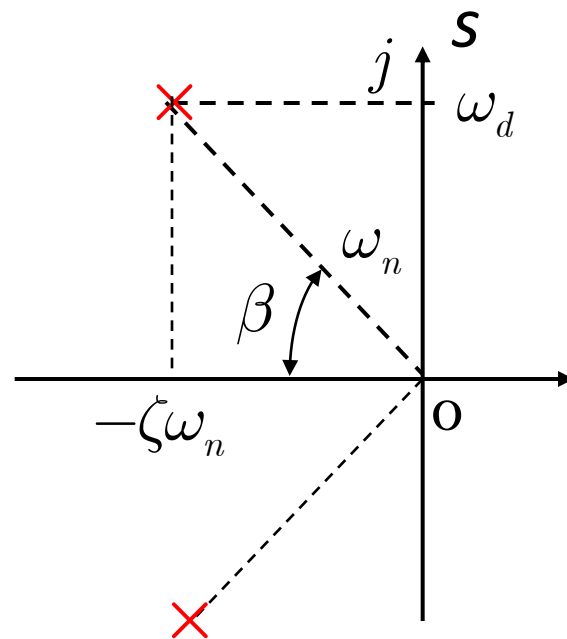
$$s_{1,2} = -\zeta\omega_n \pm j\omega_n\sqrt{1-\zeta^2} = -\zeta\omega_n \pm j\omega_d$$

其中,

$$\omega_d = \omega_n\sqrt{1-\zeta^2}$$

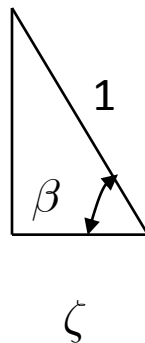
$\omega_d$  称为阻尼振荡角频率且

$$\omega_d < \omega_n$$



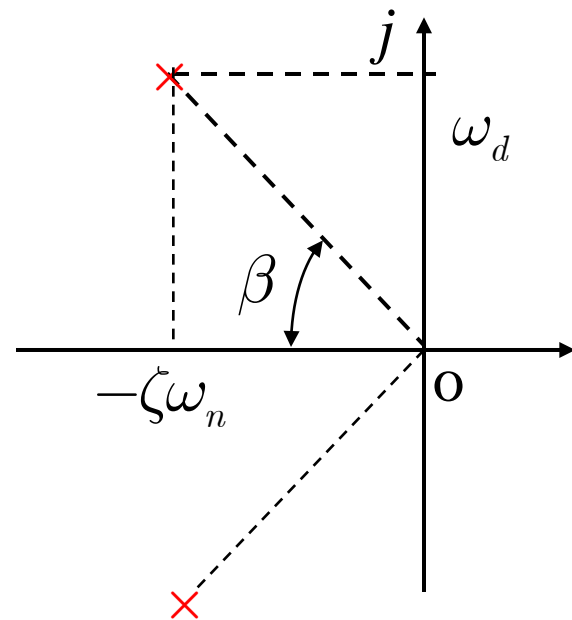


$$\begin{aligned} C(s) &= \frac{\omega_n^2}{s(s^2 + 2\zeta\omega_n s + \omega_n^2)} = \frac{1}{s} - \frac{s + 2\zeta\omega_n}{s^2 + 2\zeta\omega_n s + \omega_n^2} \\ &= \frac{1}{s} - \frac{s + \zeta\omega_n}{(s + \zeta\omega_n)^2 + \omega_d^2} - \frac{\zeta}{\sqrt{1-\zeta^2}} \frac{\omega_d}{(s + \zeta\omega_n)^2 + \omega_d^2} \end{aligned}$$



因此,

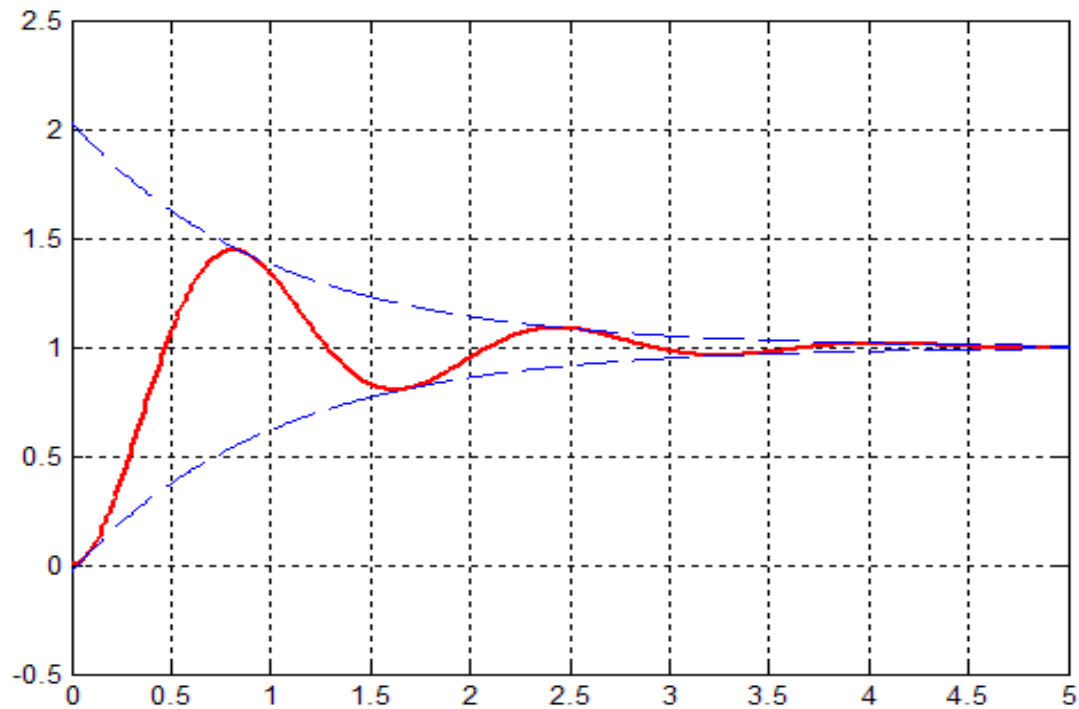
$$\begin{aligned} c(t) &= 1 - e^{-\zeta\omega_n t} \cos \omega_d t - e^{-\zeta\omega_n t} \frac{\zeta}{\sqrt{1-\zeta^2}} \sin \omega_d t \\ &= 1 - \frac{e^{-\zeta\omega_n t}}{\sqrt{1-\zeta^2}} \left[ \sqrt{1-\zeta^2} \cos \omega_d t + \zeta \sin \omega_d t \right] \\ &= 1 - \frac{e^{-\zeta\omega_n t}}{\sqrt{1-\zeta^2}} \sin(\omega_d t + \beta), t \geq 0 \end{aligned}$$



这里,  $\cos\beta=\zeta$  or  $\operatorname{tg}\beta=\sqrt{1-\zeta^2} / \zeta$ 。



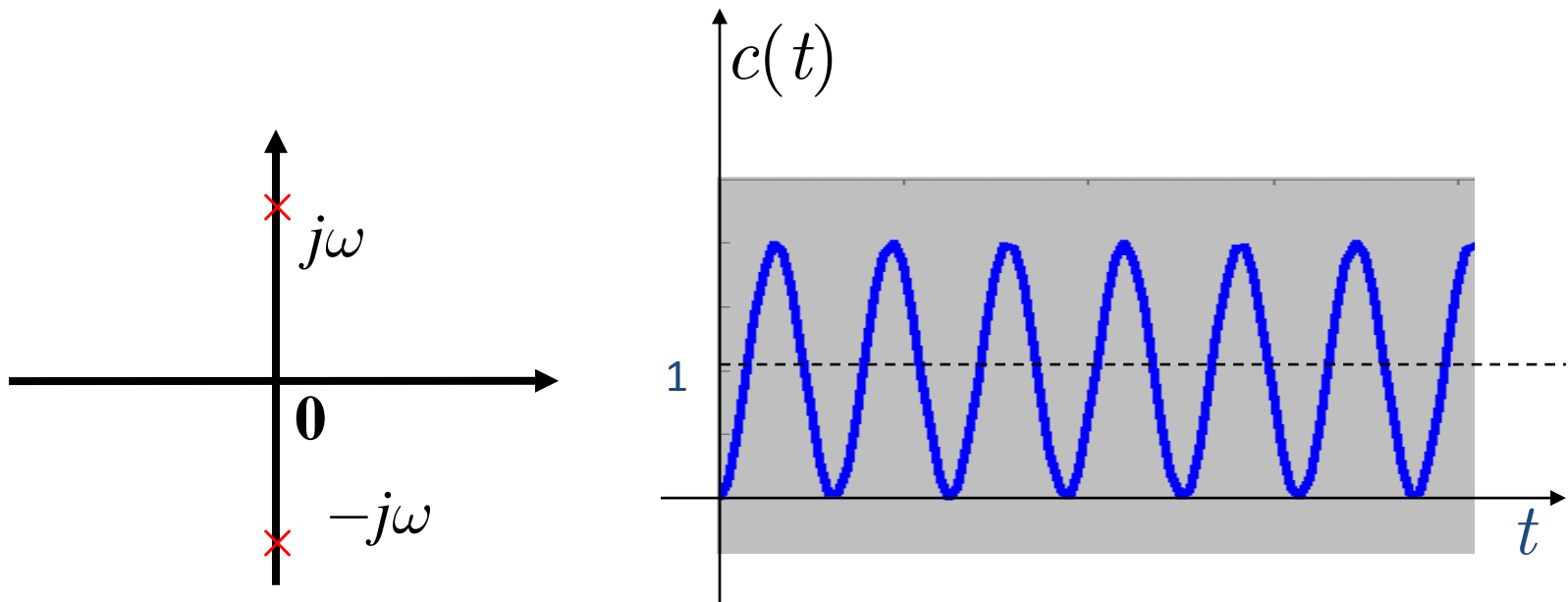
$$c(t) = 1 - \frac{e^{-\zeta\omega_n t}}{\sqrt{1-\zeta^2}} \sin(\omega_d t + \beta), t \geq 0$$





### (3) 无阻尼( $\zeta=0$ )单位阶跃响应:

$$c(t) = 1 - \cos \omega_n t, \quad t \geq 0$$



这是为何称  $\omega_n$  为无阻尼振荡角频率，事实上无法观测到，能观测到的是阻尼振荡角频率。

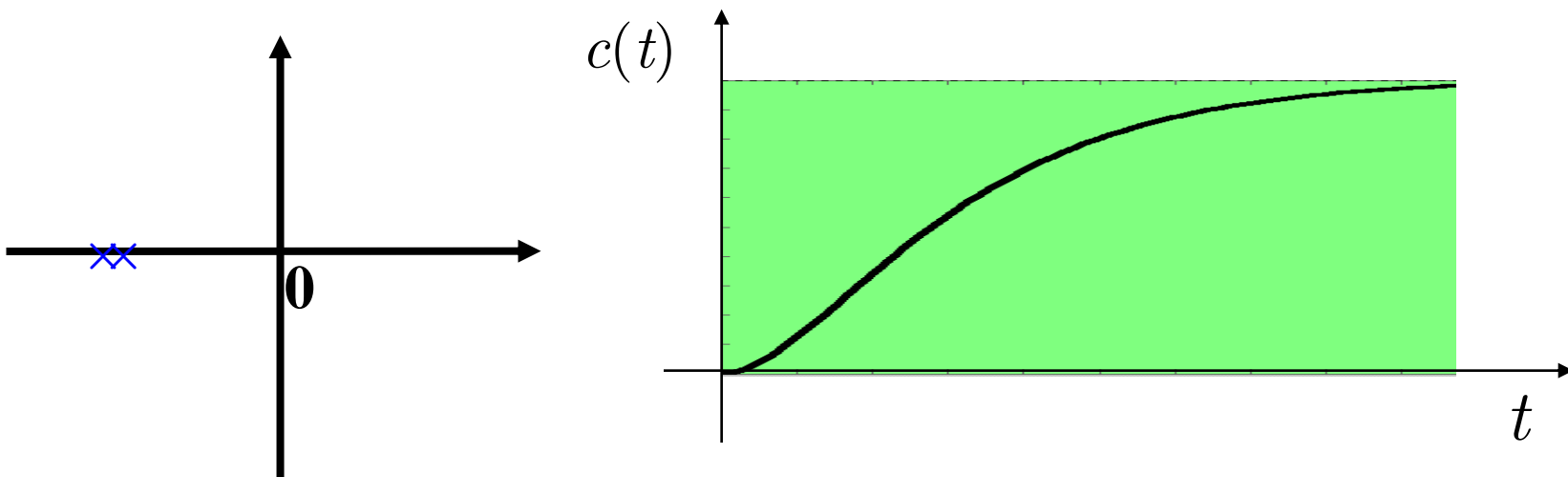


#### (4) 临界阻尼( $\zeta=1$ )单位阶跃响应:

$$C(s) = \frac{\omega_n^2}{s(s + \omega_n)^2} = \frac{1}{s} - \frac{1}{s + \omega_n} - \frac{\omega_n}{(s + \omega_n)^2}$$

取 *Laplace* 反变换,

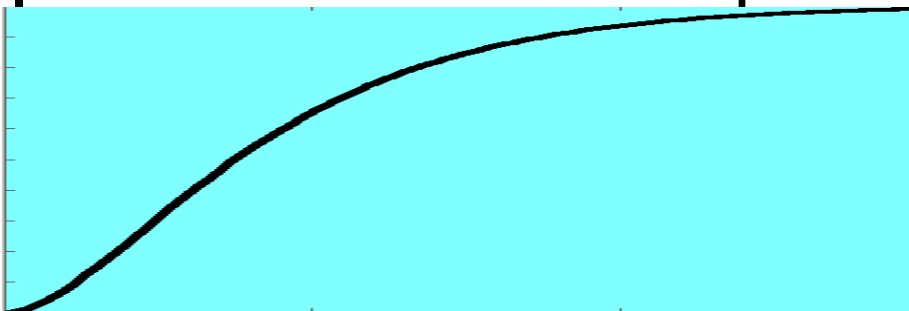
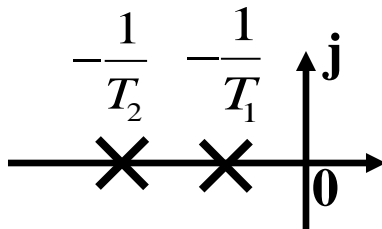
$$c(t) = 1 - e^{-\omega_n t} (1 + \omega_n t), \quad t \geq 0$$



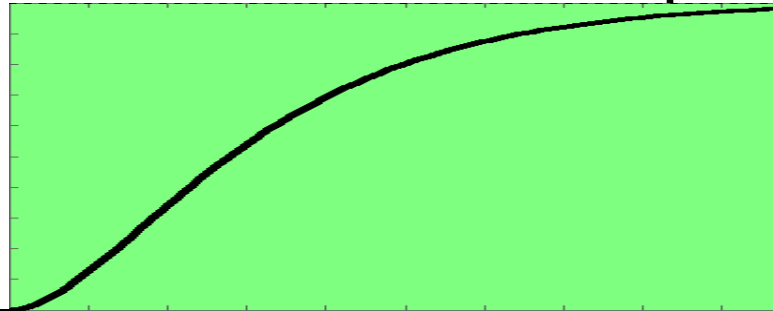
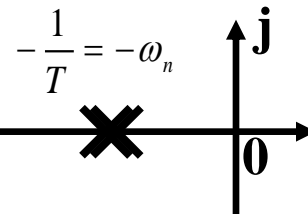




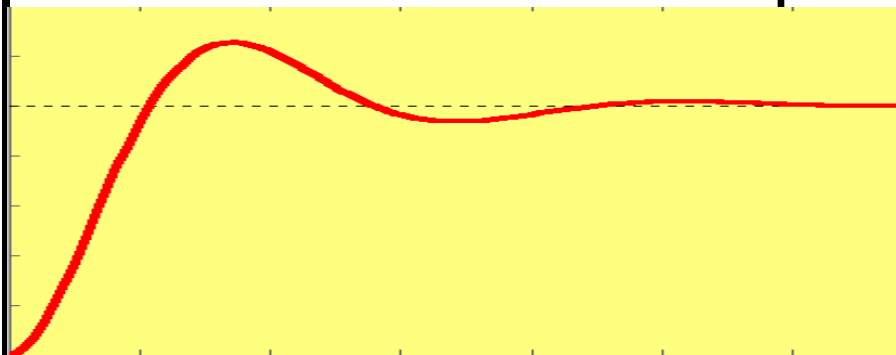
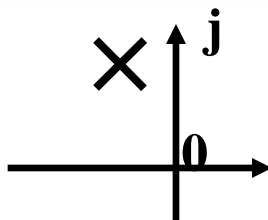
$$\zeta > 1$$



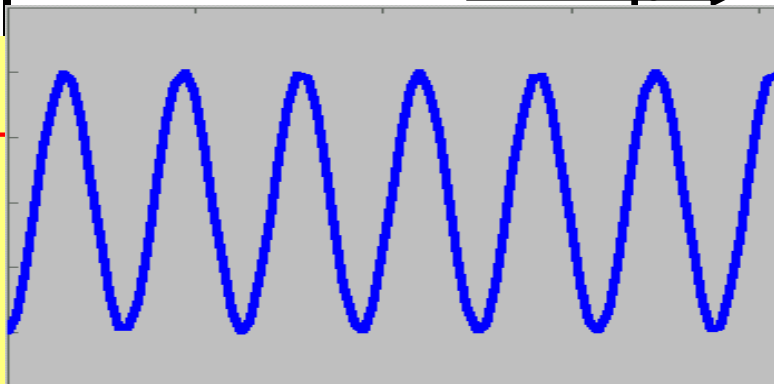
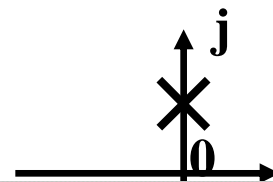
$$\zeta = 1$$



$$0 < \zeta < 1$$

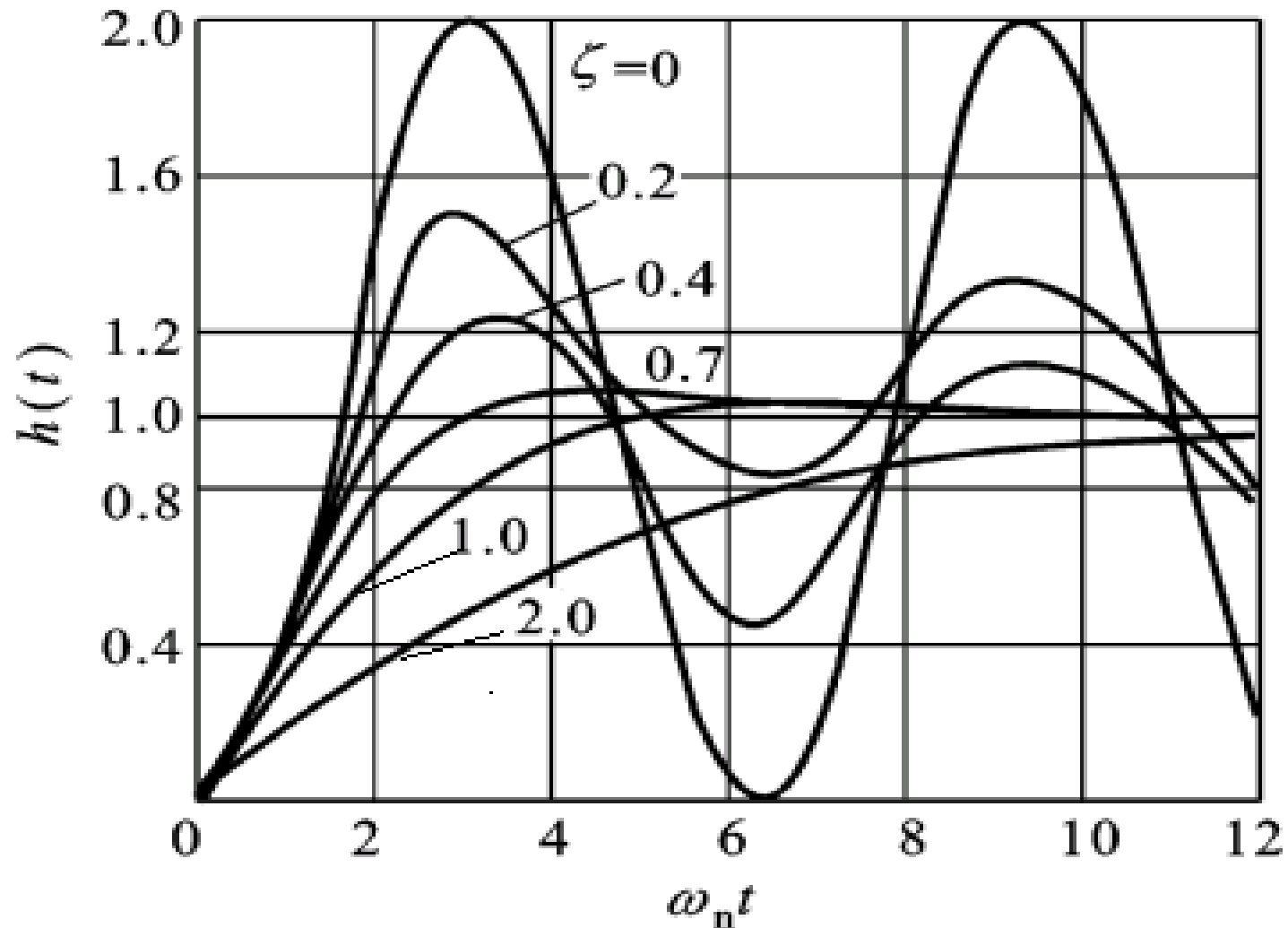


$$\zeta = 0$$





### 3. 二阶欠阻尼系统性能的定性分析



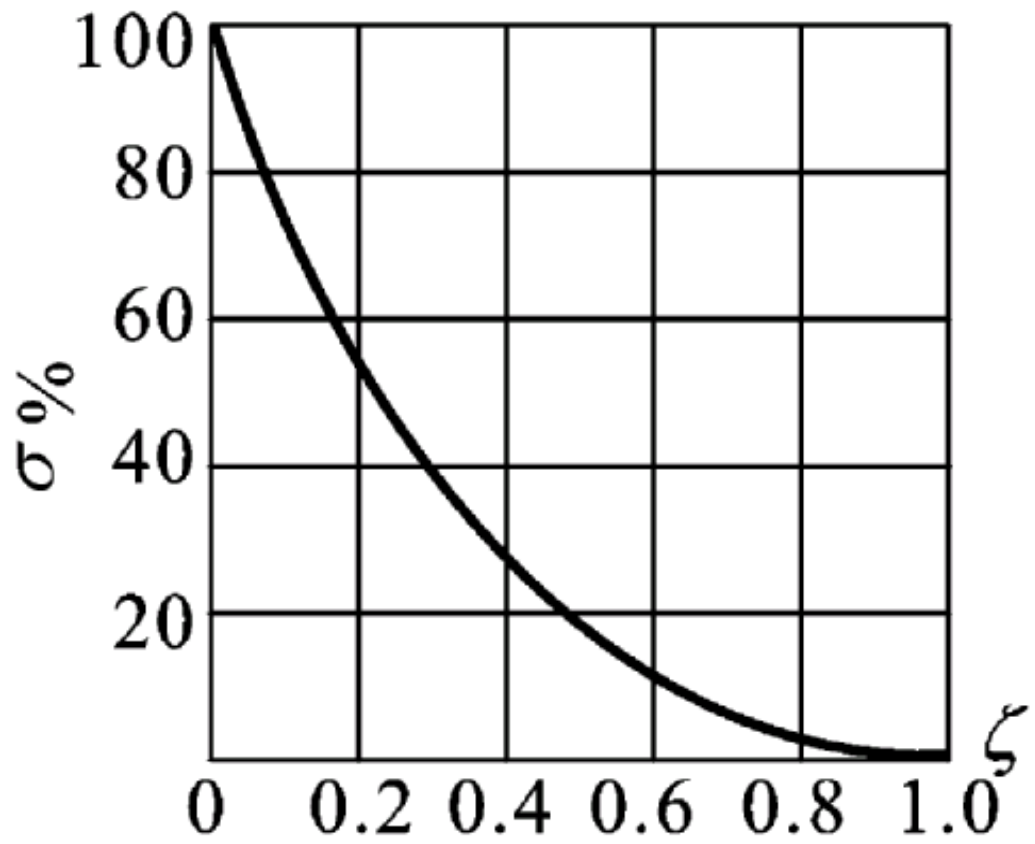


## • 平稳性：

(1)  $\zeta \uparrow \rightarrow \omega_d \downarrow$ ，响振荡倾向越弱， $\sigma\% \downarrow$  (平稳性越好)。  
反之， $\zeta \downarrow \rightarrow \omega_d \uparrow$  (振荡越严重)，平稳性越差。

(2)  $\zeta=0$ 时，为零阻尼响应，具有频率为 $\omega_n$ 的不衰减（等幅）振荡。

(3) 阻尼比和超调量的关系曲线如下图所示。



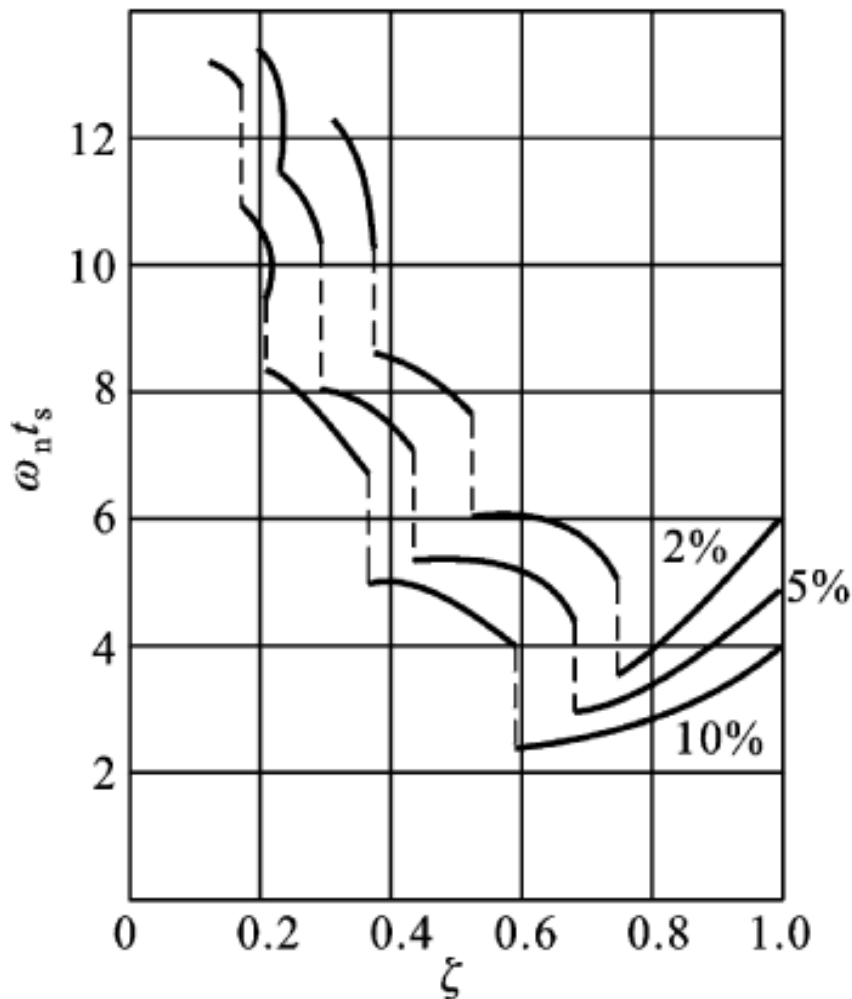


(4) 在  $\zeta$  一定的情况下,  $\omega_n \uparrow \rightarrow \omega_d \uparrow$ , 响应平稳性也越差。

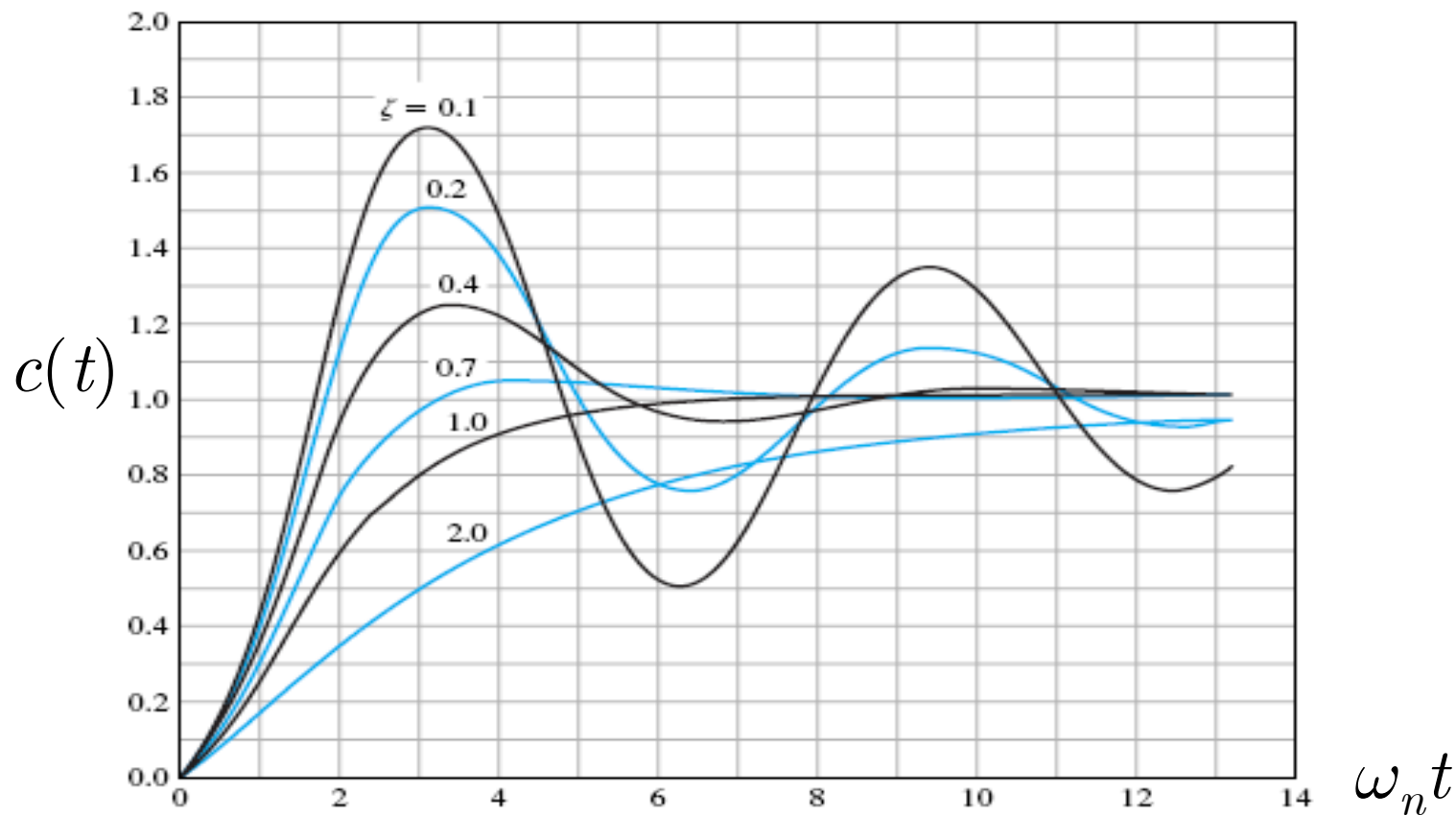
总之, 对于二阶欠阻尼系统而言,  $\zeta$  大、 $\omega_n$  小系统响应的平稳性好。



## • 快速性:



(1) 从图中看出，对于5%误差带，当  $\zeta=0.707$  时，调节时间最短，即快速性最好。同时，其超调量 $<5\%$ ，平稳性也较好，故称  $\zeta=0.707$  为最佳阻尼比。



(2) 在所有  $\zeta \geq 1$  无振荡和超调的响应中， $\zeta = 1$  时的响应最快。

(3)  $\zeta > 1$  时的响应缓慢。



- **稳态精度:**

$$h(t) = 1 - \frac{1}{\sqrt{1 - \zeta^2}} e^{-\zeta \omega_n t} \sin(\omega_d t + \beta), \forall t \geq 0$$

$$e_{ss} = \lim_{t \rightarrow \infty} (1 - h(t)) = 0$$

因此，上述欠阻尼二阶系统的单位阶跃响应稳态误差为零。



## 4. 欠阻尼系统的性能指标:

(1) 峰值时间  $t_p$  :

$$c(t) = 1 - \frac{e^{-\zeta\omega_n t}}{\sqrt{1-\zeta^2}} \sin(\omega_d t + \beta)$$

$$\frac{dc(t)}{dt} = \frac{\omega_n}{\sqrt{1-\zeta^2}} e^{-\zeta\omega_n t} \sin \omega_d t = 0 \Rightarrow \omega_d t = 0, \pi, 2\pi, \dots$$

$$t_p = \frac{\pi}{\omega_d} = \frac{\pi}{\omega_n \sqrt{1-\zeta^2}}$$





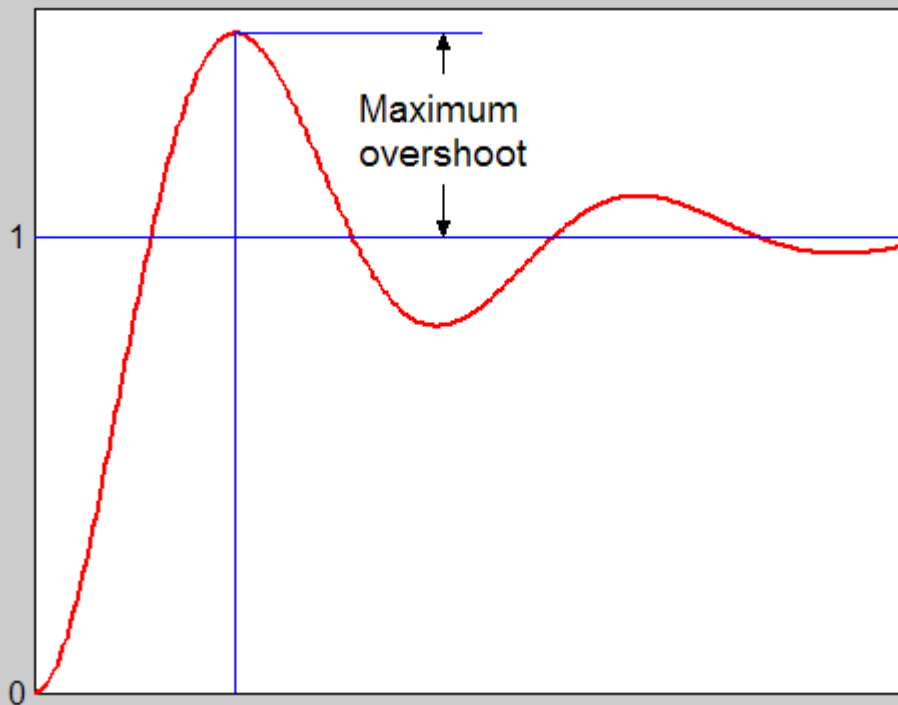
## (2) 超调量( $0 < \zeta < 1$ ):

$$t_p = \frac{\pi}{\omega_d} = \frac{\pi}{\omega_n \sqrt{1-\zeta^2}} \Rightarrow$$

$$c(t_p) = 1 + e^{-\frac{\pi\zeta}{\sqrt{1-\zeta^2}}}$$

故

$$\sigma\% = e^{\frac{-\pi\zeta}{\sqrt{1-\zeta^2}}} \times 100\%$$





### (3) 调节时间 $t_s$ ( $0 < \zeta < 1$ ):

$$c(t) = 1 - \frac{e^{-\zeta\omega_n t}}{\sqrt{1-\zeta^2}} \sin(\omega_d t + \beta)$$

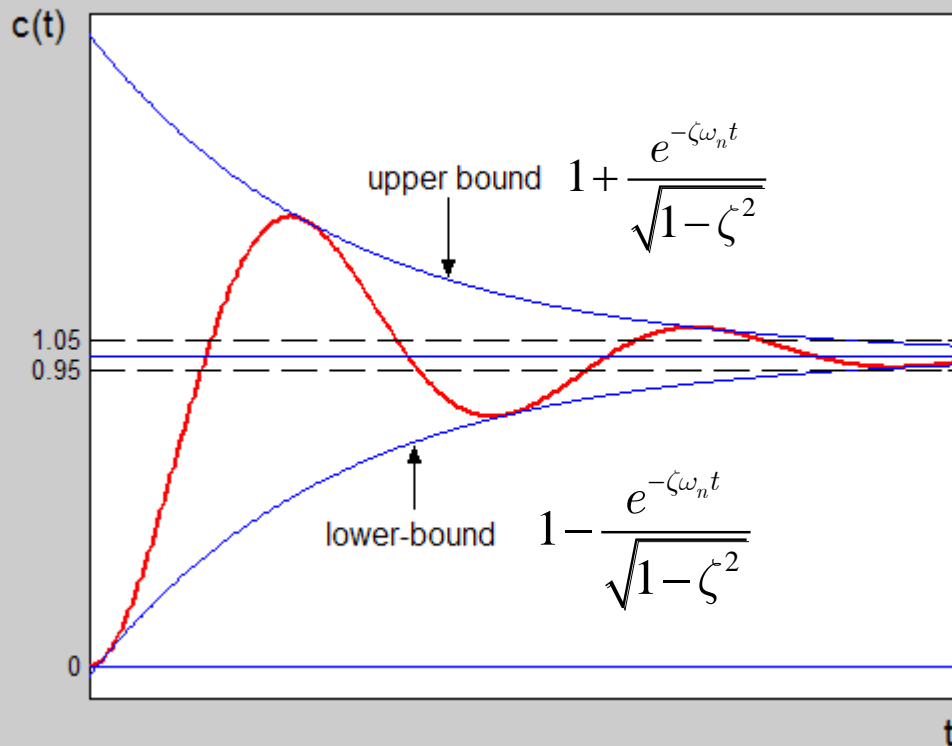
$$1 \pm \frac{e^{-\zeta\omega_n t}}{\sqrt{1-\zeta^2}} = \text{envelope curves}$$

其时间常数:  $1/\zeta\omega_n$

故

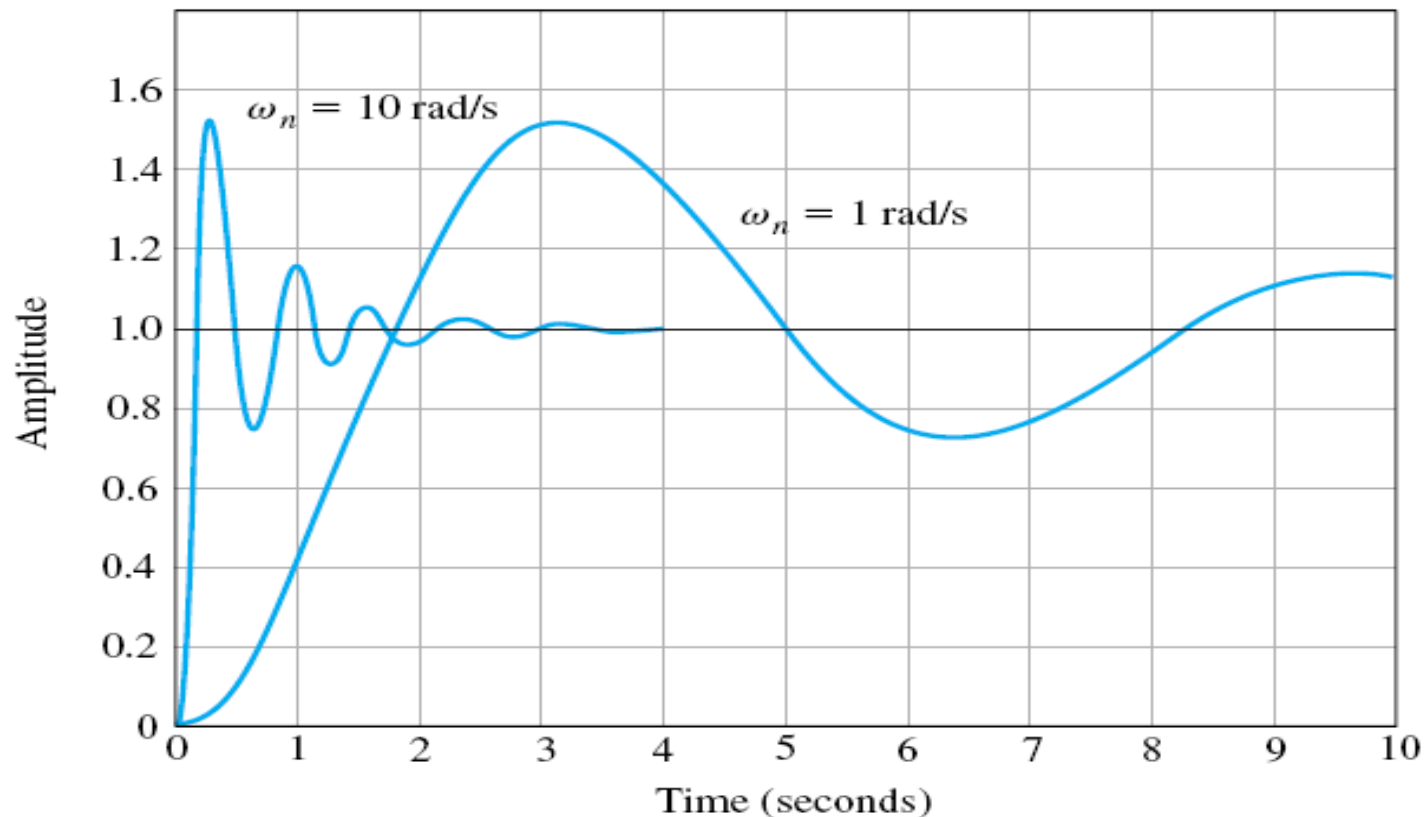
$$t_s \approx 4T = 4/\zeta\omega_n, \\ (2\% \text{ criterion})$$

$$t_s \approx 3T = 3/\zeta\omega_n, \\ (5\% \text{ criterion})$$





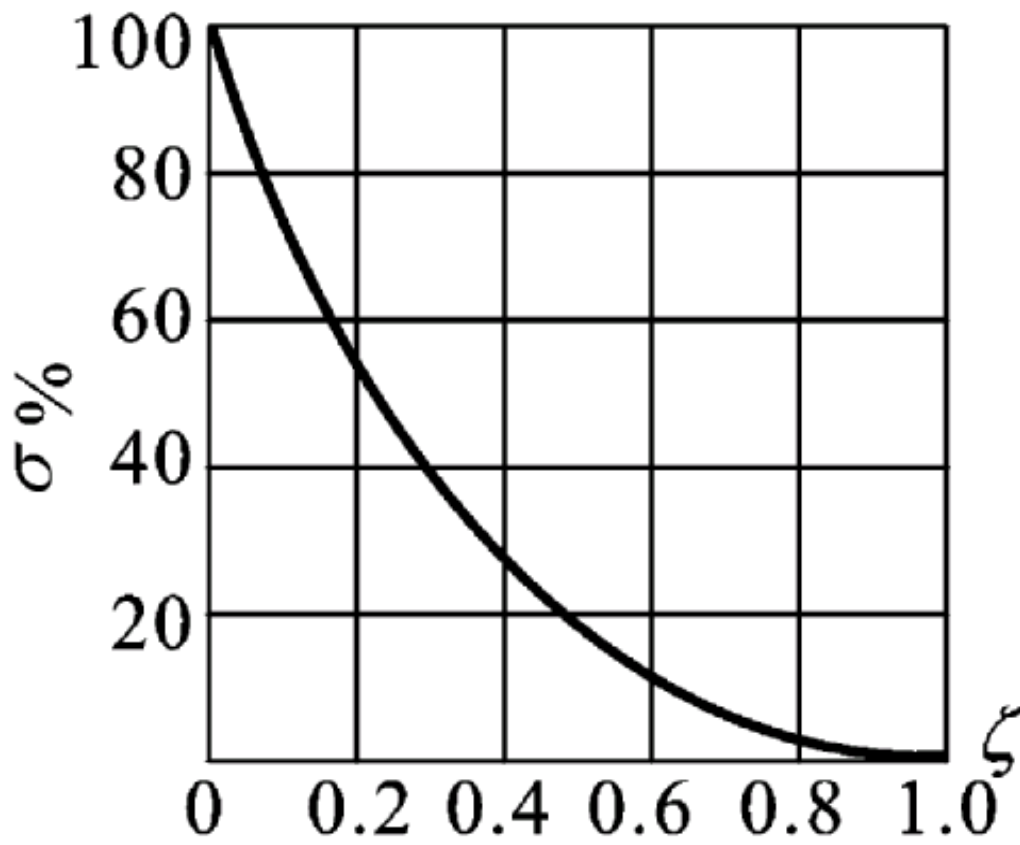
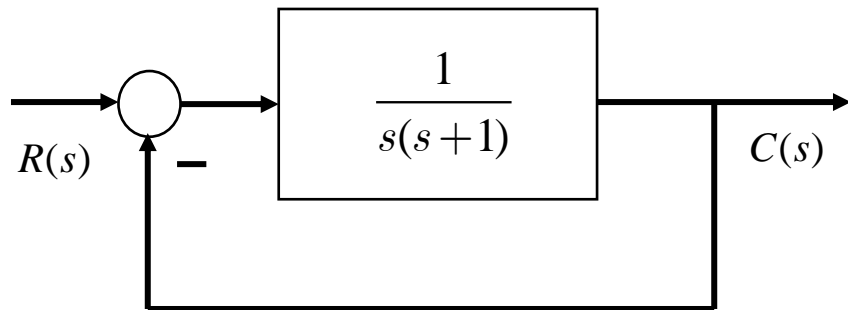
**例：**二阶系统  $\zeta=0.2$ ，当  $\omega_n=1$  和  $\omega_n=10$ ，时的响应曲线如下图所示：





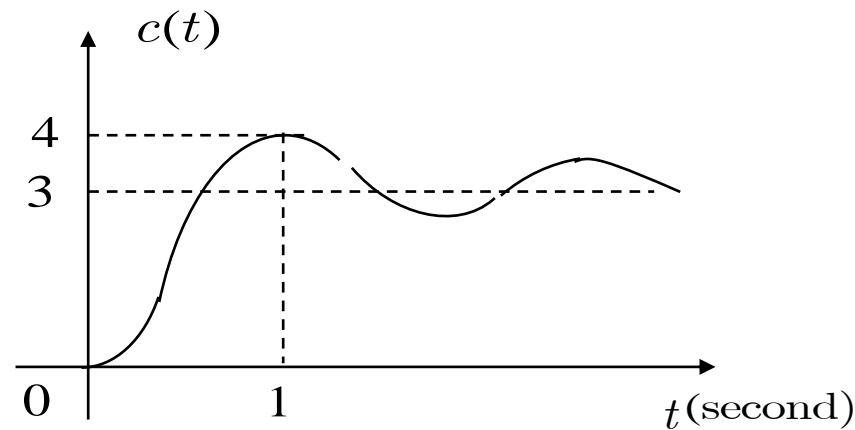
例：

求  $t_s$  及  $\sigma\%$





**例：**某二阶系统的单位阶跃响应如下图所示，其中， $\lim_{t \rightarrow \infty} c(t) = 3$ 。试求其传递函数。



**解：**系统传递函数如下：

$$\Phi(s) = \frac{K\omega_n^2}{s^2 + 2\zeta\omega_n s + \omega_n^2}$$

这里， $K=3$ ，且由图， $t_p=1\text{s}$ 及  $\sigma\%=(1/3)100\% = 33.3\%$ 。利用公式



$$\sigma\% = e^{-\pi\zeta/\sqrt{1-\zeta^2}} \times 100\%$$

及

$$t_p = \frac{\pi}{\omega_n \sqrt{1-\zeta^2}}$$

得到

$$\zeta = 0.33$$

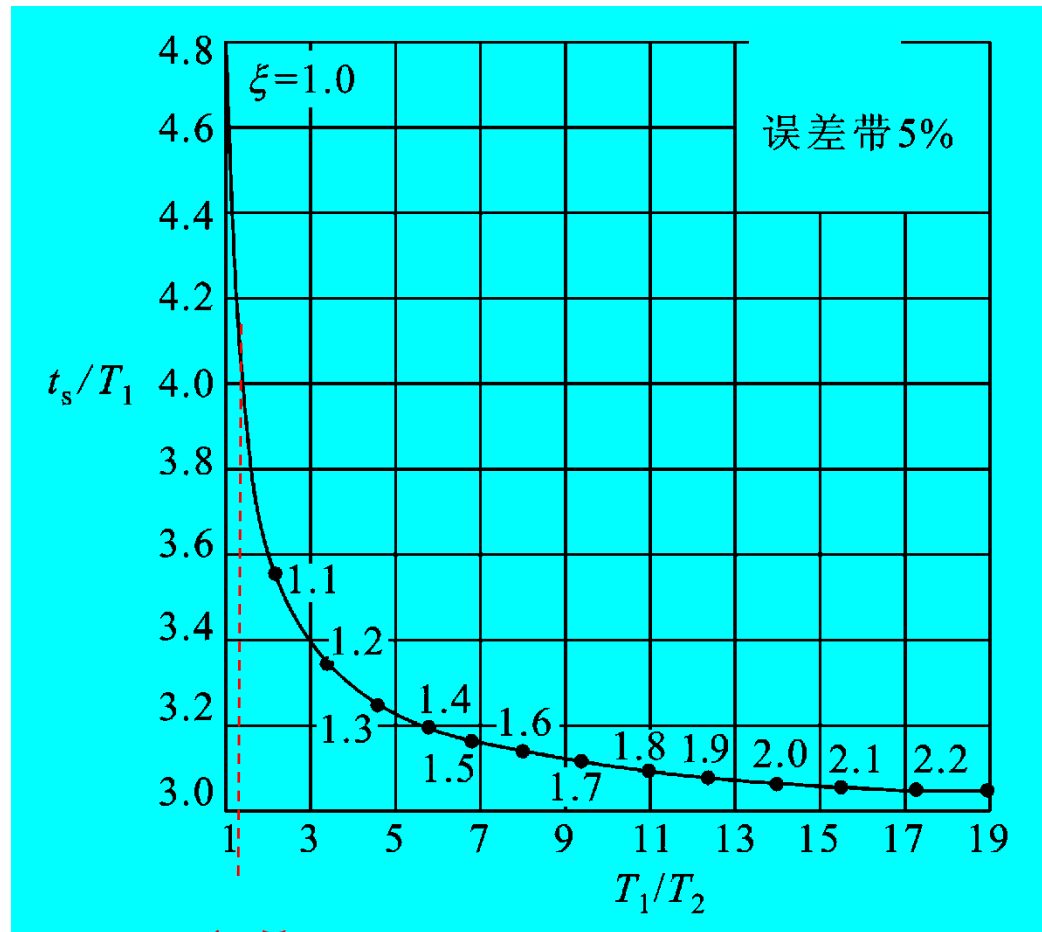
$$\omega_n = 3.33 \text{ rad/s}$$



## 5. $\zeta \geq 1$ 时系统的性能指标:

$$C(s) = \frac{\frac{1}{T_1 T_2}}{\left(s + \frac{1}{T_1}\right) \left(s + \frac{1}{T_2}\right)} \frac{1}{s}$$
$$= \frac{1}{s(T_1 s + 1)(T_2 s + 1)}$$

无超调、无稳态误差。  
 $t_s$  可通过查表法得到。





例如:

1)  $T_1 = T_2 \Leftrightarrow \zeta = 1$

$$t_s = 4.75T_1$$

2)  $T_1 / T_2 = 1.5 \Rightarrow \zeta = 1.02$

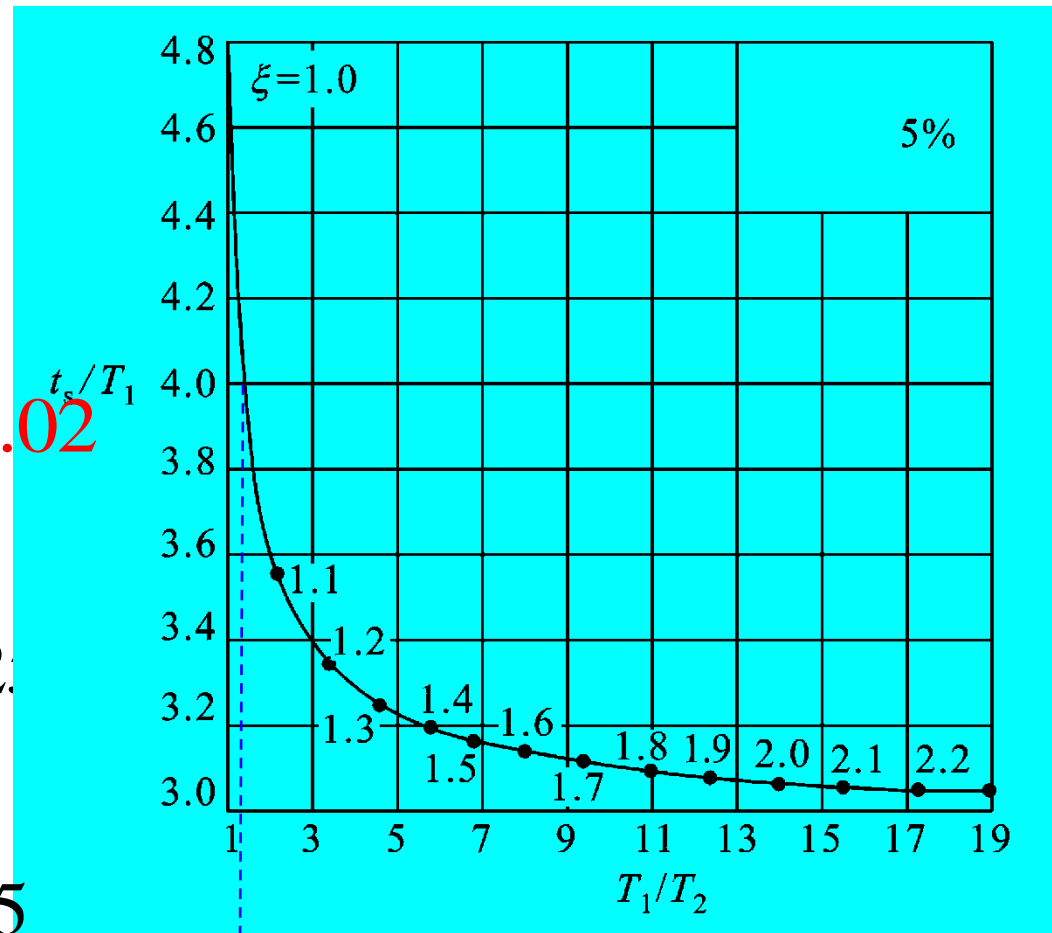
$$t_s = 4T_1$$

3)  $T_1 / T_2 = 4 \Rightarrow \zeta = 1.25$

$$t_s \approx 3.3T_1$$

4)  $T_1 / T_2 > 4 \Rightarrow \zeta > 1.25$

$$t_s \approx 3T_1$$

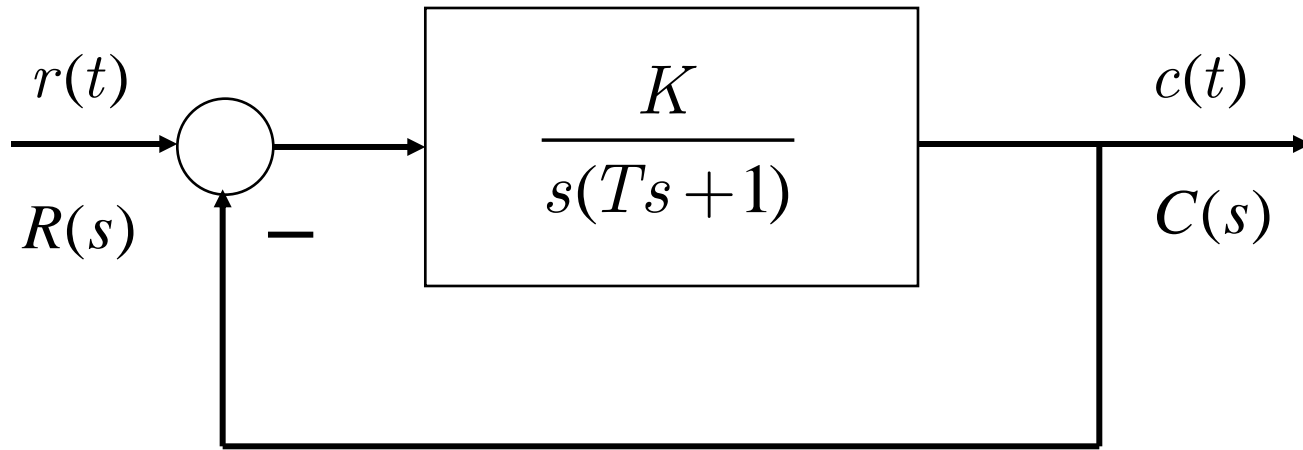


1.5





**例：**考虑如下系统：



其中，  $T=0.1\text{s}$ ，  $K$ 为开环增益。试确定  $K$ ，使得无超调且  $t_s=1\text{s}$ 。

**解：**据题意，  $\zeta \geq 1$ 。因此，闭环特征多项式

$$d(s) = s^2 + \frac{1}{T}s + \frac{K}{T} = \left(s + \frac{1}{T_1}\right)\left(s + \frac{1}{T_2}\right) = s^2 + \left(\frac{1}{T_1} + \frac{1}{T_2}\right)s + \frac{1}{T_1 T_2} = 0$$



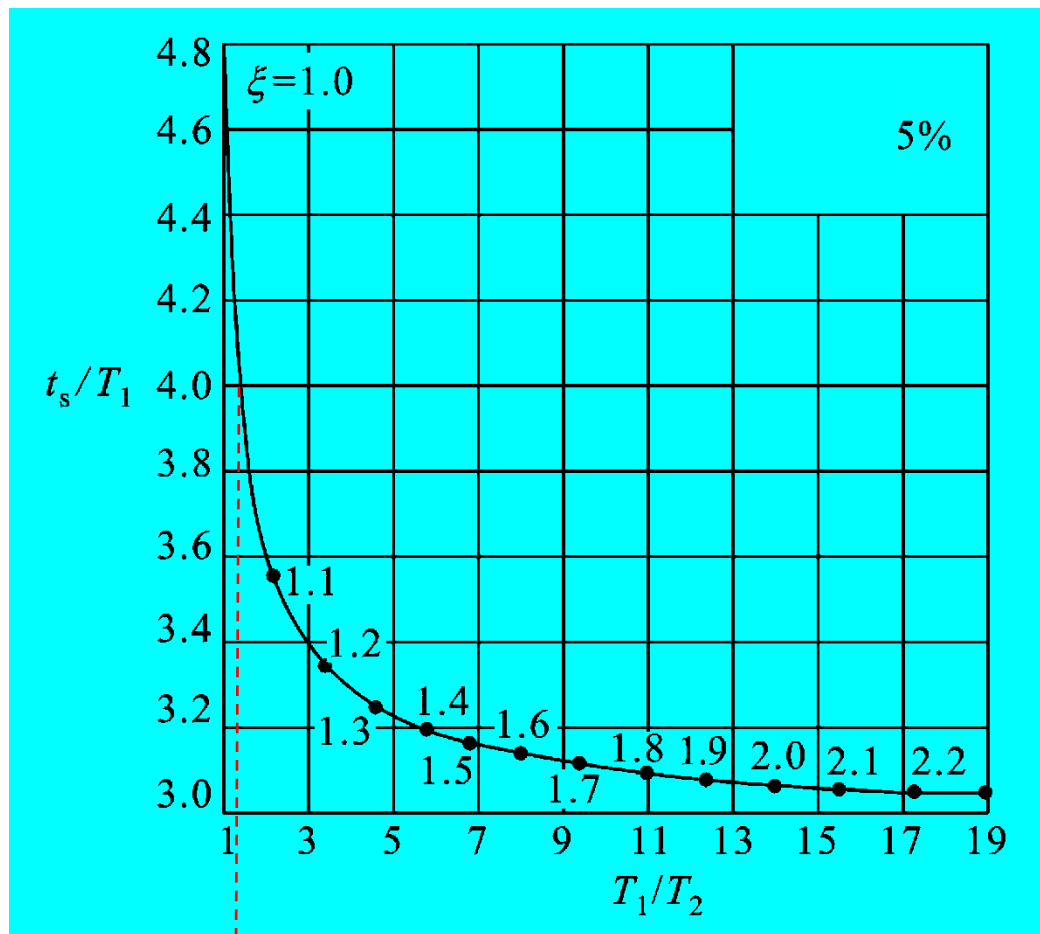
比较系数:

$$\begin{cases} \frac{K}{T} = \frac{1}{T_1 T_2} \\ \frac{1}{T} = \frac{1}{T_1} + \frac{1}{T_2} \end{cases}$$

查表,

$$\frac{T_1}{T_2} = 1.5$$

$$\frac{t_s}{T_1} = 4$$



1.5



此时,  $\zeta=1.02$ , 非常接近1, 故响应较快。因  $t_s=1\text{s}$ ,

$$T_1 = \frac{1}{4} t_s = 0.25 \text{ s}$$

因此,

$$\frac{T_1}{T_2} = 1.5 \Rightarrow T_2 = \frac{T_1}{1.5} = \frac{0.25}{1.5} = \frac{1}{6} \text{ s}$$

为确定  $K$ , 注意到

$$\begin{cases} \frac{K}{T} = \frac{1}{T_1 T_2} \\ \frac{1}{T} = \frac{1}{T_1} + \frac{1}{T_2} \end{cases}$$



故

$$K = \frac{T}{T_1 T_2} \bigg|_{T=0.1} = \frac{0.1}{0.25 \times 0.167} = 2.4 s^{-1}$$

最后，需要检验

$$\frac{1}{T_1} + \frac{1}{T_2} = \frac{1}{T} = \frac{1}{0.1} = 10$$

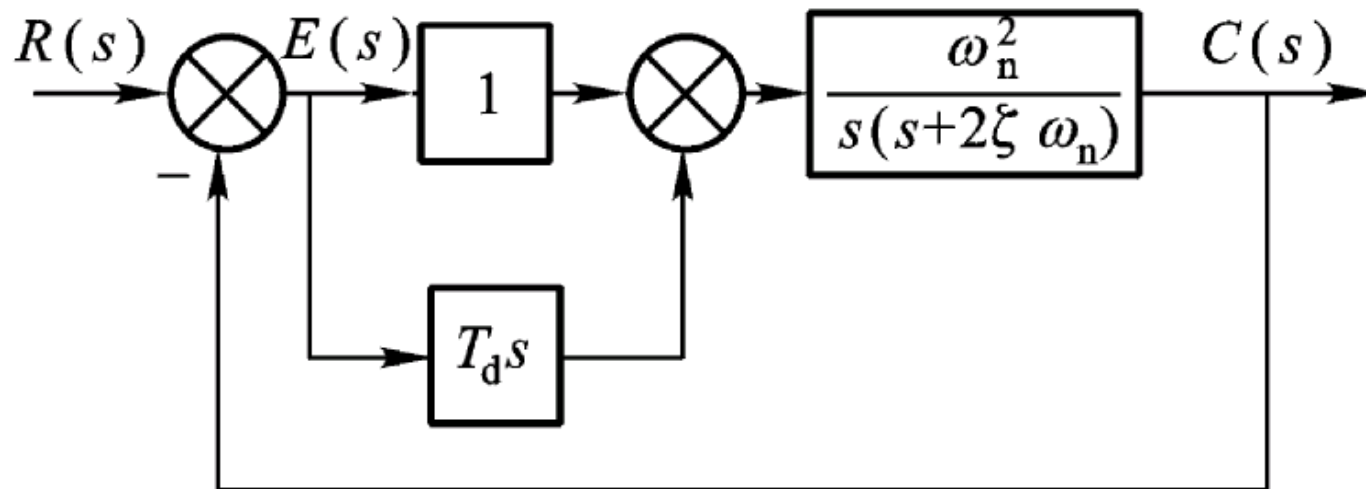
是否满足。否则， $K$  要重新设计。但在本例中，

$$\frac{1}{T_1} = 4, \quad \frac{1}{T_2} = 6$$



### 三、改善二阶系统响应的措施

#### 1. 误差信号的比例 - 微分控制





系统开环传函为：

$$G(s) = \frac{C(s)}{E(s)} = \frac{\omega_n^2 (1 + T_d s)}{s(s + 2\zeta\omega_n)}$$

闭环传函为：

$$\Phi(s) = \frac{C(s)}{R(s)} = \frac{\omega_n^2 (1 + T_d s)}{s^2 + (2\zeta\omega_n + T_d\omega_n^2)s + \omega_n^2}$$

等效阻尼比：

$$\zeta_d = \zeta + \frac{1}{2} T_d \omega_n$$

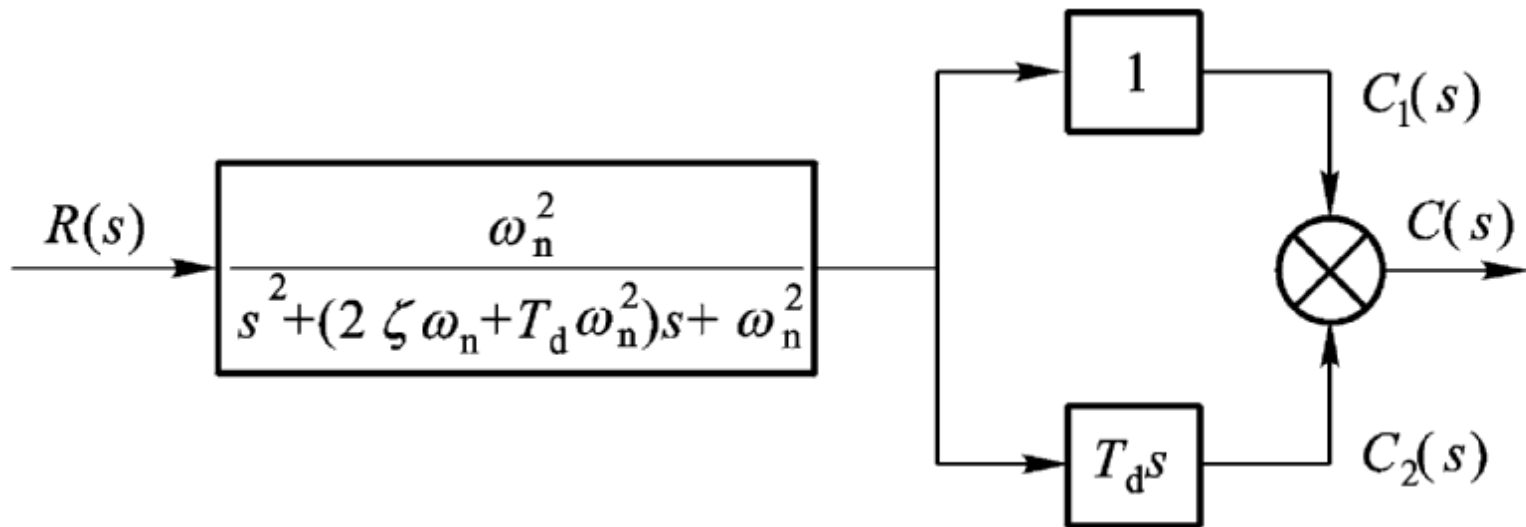


引入比例—微分控制使系统的等效阻尼比增加，从而抑制了振荡，使超调减弱，可改善系统的平稳性。

微分作用之所以能改善动态性能，因为它产生一种早期控制（或称为超前控制），能在实际超调量出来之前，就产生一个修正作用。



前面图的相应的等效结构



由此知道：

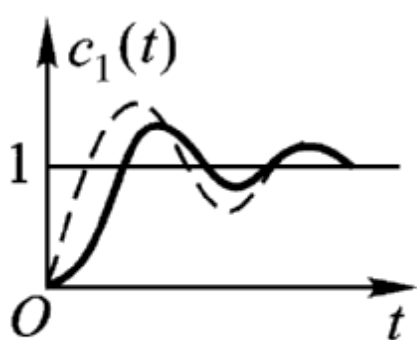
$$c(t) = c_1(t) + c_2(t)$$

问题：  $c_2(t)$  怎么求？

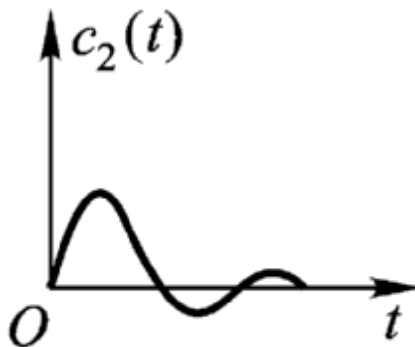




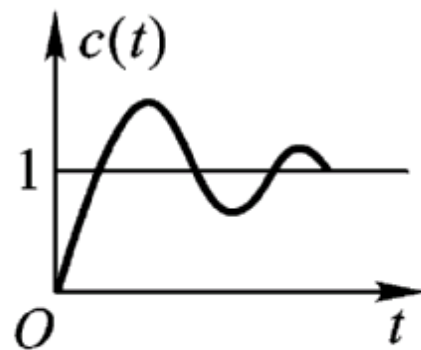
$c_1(t)$ 和 $c_2(t)$ 及 $c(t)$ 的大致形状如下：



(a)



(b)



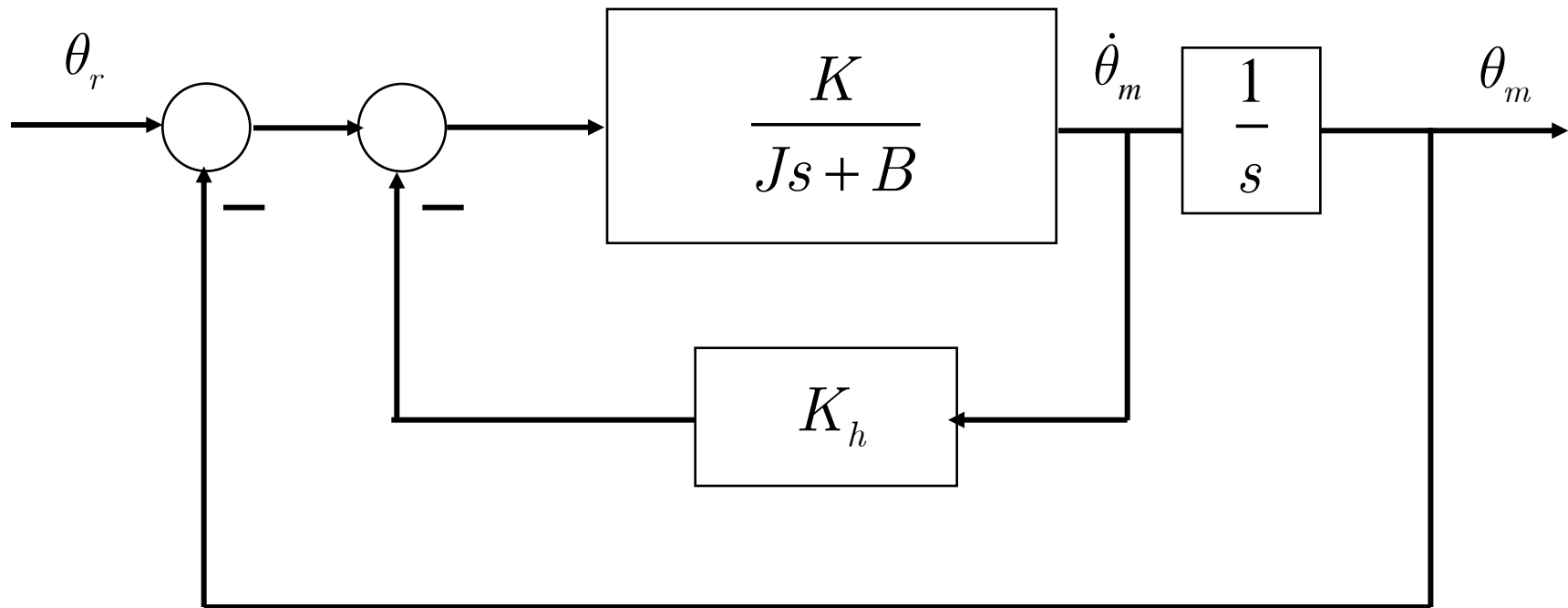
(c)

一方面，增加  $T_d$  项，增大了等效阻尼比  $\zeta_d$ ，使  $c_1(t)$  曲线比较平稳。另一方面，它又使  $c_1(t)$  加上了它的微分信号  $c_2(t)$ ，加速了  $c(t)$  的响应速度，但也同时削弱了等效阻尼比  $\zeta_d$  的平稳作用。



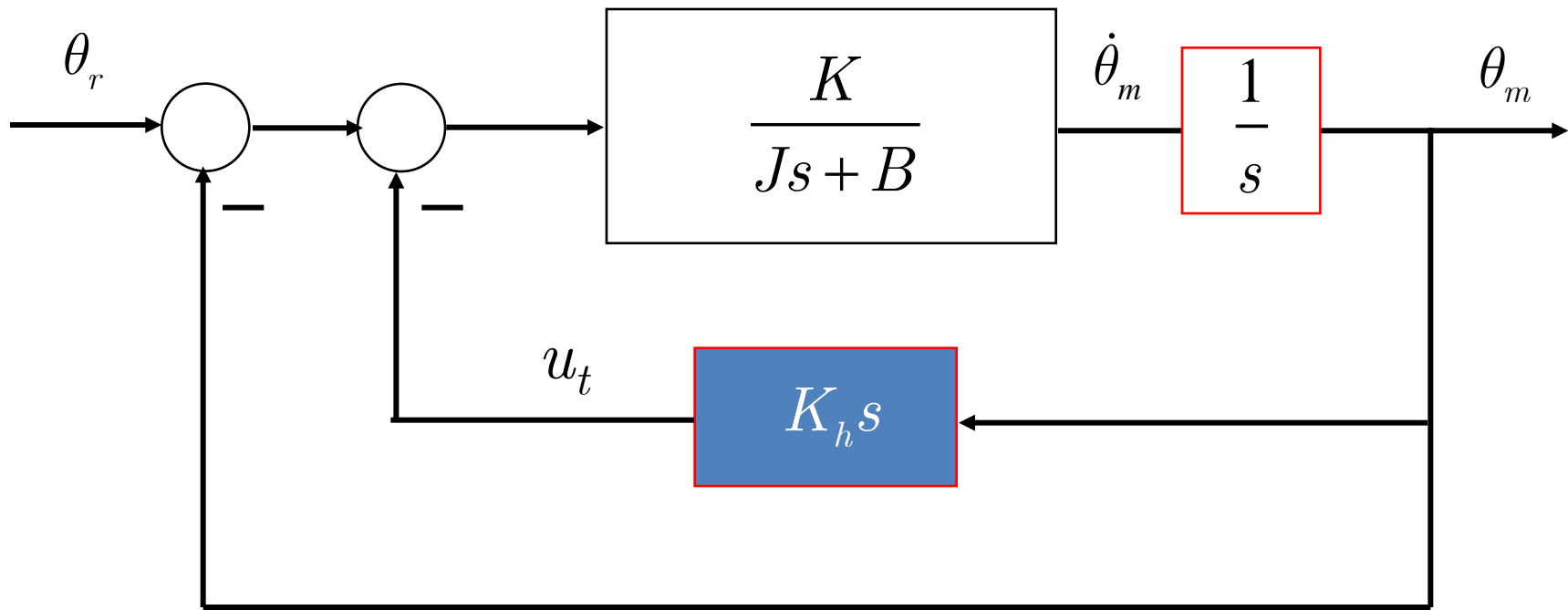
## 2. 测速反馈

测速反馈可改善 系统品质：





数学上等价于：





无测速反馈时( $K_h=0$ ):

$$\frac{\Theta_m(s)}{\Theta_r(s)} = \frac{K/J}{s^2 + (B/J)s + K/J} = \frac{\omega_n^2}{s^2 + 2\zeta\omega_n s + \omega_n^2}$$

这里,

$$\omega_n = \sqrt{K/J}, \quad \zeta = \frac{B}{2\sqrt{JK}}$$

有测速反馈时,

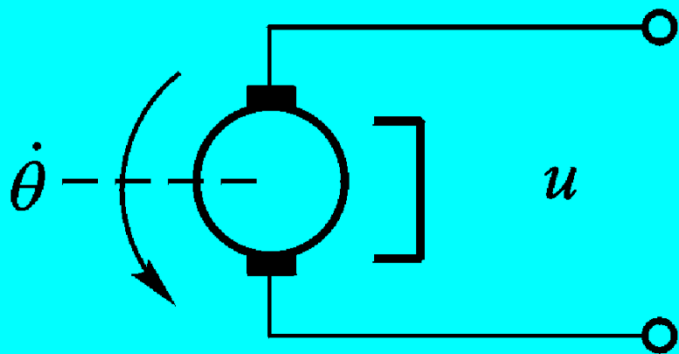
$$\frac{\Theta_m(s)}{\Theta_r(s)} = \frac{\omega_n^2}{s^2 + 2(\zeta + K_h\omega_n/2)\omega_n s + \omega_n^2}$$

阻尼比变为

$$\zeta_t = \zeta + \frac{1}{2}K_h\omega_n$$



测速发电机：将速度信号转换为模拟电压信号，是重要的传感器。



Mathematical model:

$$u(t) = K_h \dot{\theta}(t)$$



### 3. 比例 - 微分控制和速度反馈控制比较

- (1) 比例—微分控制的线路结构比较简单，成本低，而速度反馈控制部件则较昂贵。
- (2) 从抗干扰来看，前者抗干扰能力较后者差。
- (3) 两者均能改善系统的平稳性。在相同的阻尼比和自然频率下，采用速度反馈不足之处是其会使系统的开环增益下降，但却能使内回路中被包围部件的非线性特性、参数漂移等不利影响大大削弱。

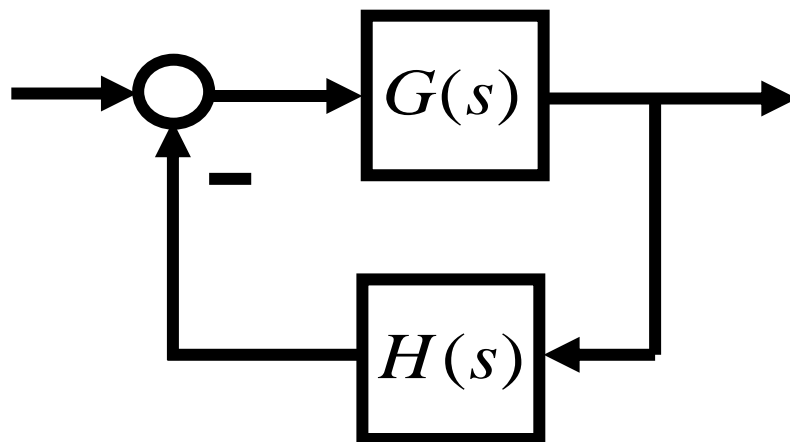
**开环增益：**开环增益是指将开环传递函数写为标准形式后，对应的开环传递函数增益。



## 四、高阶系统的时域分析

高阶系统的时间响应可以分解为一系列一阶和二阶系统响应之和。

### 1. 基本假设





闭环传递函数:

$$\frac{C(s)}{R(s)} = \frac{G(s)}{1 + G(s)H(s)}$$

$$\frac{C(s)}{R(s)} = \frac{b_0 s^m + b_1 s^{m-1} + \dots + b_m}{s^n + a_1 s^{n-1} + \dots + a_n} = \frac{b_0 \prod_{i=1}^m (s + z_i)}{\prod_{k=1}^n (s + p_k)}, m \leq n$$

**假设1:**  $m \leq n$ 。

物理系统均满足该假设。若一系统满足假设1, 称该系统为正则的; 若  $m < n$ , 称该系统为严格正则的。





**假设2:** 所有闭环根均位于左半 $s$ -平面。

**假设3:** 所有闭环根为单根。

## 2. 高阶系统的单位阶跃响应

$$C(s) = \frac{b_0 \prod_{i=1}^m (s + z_i)}{\prod_{k=1}^n (s + p_k)} \cdot \frac{1}{s} = \frac{a}{s} + \sum_{k=1}^n \frac{a_k}{s + p_k}$$

这里， $a$  和  $a_k$  为关于  $s=0$  、  $s=-p_k$  的留数：



$$a = \lim_{s \rightarrow 0} \frac{b_0 \prod_{i=1}^m (s + z_i)}{\prod_{k=1}^n (s + p_k)} = \frac{b_0 \prod_{i=1}^m (z_i)}{\prod_{k=1}^n (p_k)} = \Phi(0)$$

$$a_k = \lim_{s \rightarrow -p_k} \frac{b_0 \prod_{i=1}^m (s + z_i)}{\prod_{\substack{i=1 \\ i \neq k}}^n (s + p_i)} \frac{1}{s} = \frac{b_0 \prod_{i=1}^m (-p_k + z_i)}{\prod_{\substack{i=1 \\ i \neq k}}^n (-p_k + p_i)} \frac{1}{-p_k}$$



考虑  $C(s)$  包含实根和共轭复根的一般情形：

$$C(s) = \frac{a}{s} + \sum_{j=1}^q \frac{a_j}{s + p_j} + \sum_{k=1}^r \frac{\beta_k (s + \zeta_k \omega_k) + c_k \omega_k \sqrt{1 - \zeta_k^2}}{s^2 + 2\zeta_k \omega_k s + \omega_k^2}$$

这里，  $n = q + 2r$ 。

**例：**考虑如下系统的单位阶跃响应：

$$C(s) = \frac{5s^3 + 13s^2 + 14s + 4}{(s+1)(s^2 + 2s + 2)} \cdot \frac{1}{s} = \frac{2}{s} + \frac{2}{s+1} + \frac{s+2}{s^2 + 2s + 2}$$

$$c(t) = 2 + 2e^{-t} + e^{-t}(\cos t + \sin t), \forall t \geq 0$$



### 3. 偶极子

- (1) 在左半平面一对非常接近的零点和极点称为偶极子，可忽略；
- (2) 若一个闭环极点远离虚轴，相应的过渡过程很快，故该极点亦可忽略。

**例：**某系统传递函数

$$\Phi(s) = \frac{(s+1.01)}{(s+1)(s+2)} = \frac{0.01}{(s+1)} + \frac{1-0.01}{(s+2)}$$



进行 *Laplace*反变换

$$c(t) = 0.01e^{-t} + (1 - 0.01)e^{-2t} \approx e^{-2t}, \quad t \geq 0$$

其中  $0.01e^{-t}$  影响很小，可忽略： $\Phi(s) \approx 1/(s+2)$ .

**例：**某系统传递函数如下：

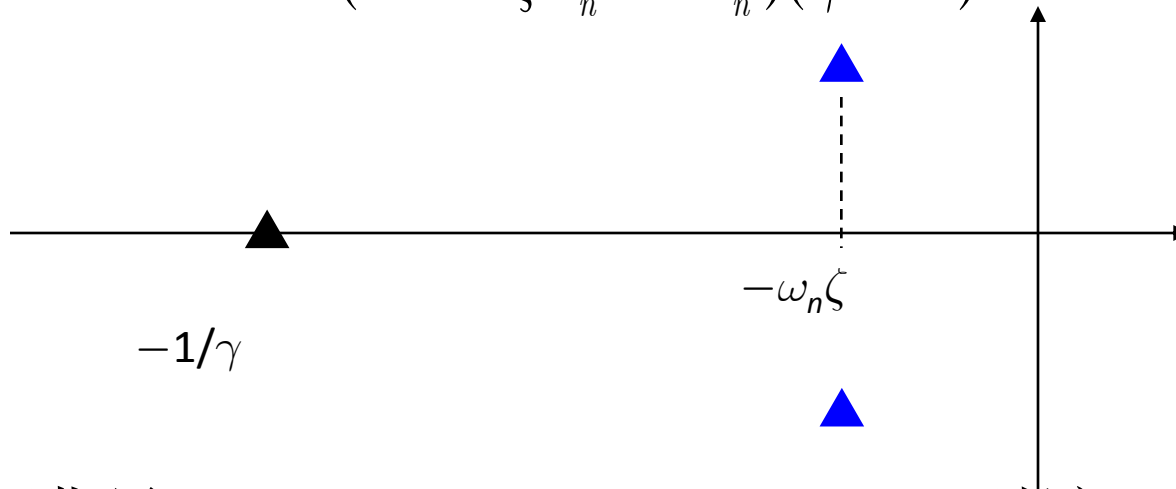
$$\Phi(s) = \frac{1/5}{(s+1)(\frac{1}{5}s+1)} \approx \frac{1/5}{(s+1)}$$



## 4. 主导极点

**例：**考虑如下三阶闭环系统：

$$\Phi(s) = \frac{\omega_n^2}{(s^2 + 2\zeta\omega_n s + \omega_n^2)(\gamma s + 1)}$$



若实部满足  $1/\gamma \geq 5\omega_n\zeta$  ( $1/\gamma \geq 4\omega_n\zeta$ ), 则该三阶系统可近似为二阶系统:



$$\Phi(s) \approx \frac{\omega_n^2}{(s^2 + 2\zeta\omega_n s + \omega_n^2)}$$

这两个极点称为主导极点。

一般地，若实部之比大于4且附近无零点，则离虚轴近的那些极点将主导系统的响应，称为主极点。例如：

